宇宙線・宇宙物理領域、素粒子論領域、素粒子実験領域合同シンポジウム 2015年ノーベル物理学賞ニュートリノ振動の発見と将来への展望

太陽ニュートリノ振動発見の歴史

東北大学ニュートリノ科学研究センター 井上邦雄

太陽ニュートリノ

エネルギー源の考察の歴史

1833 Herschel: 太陽光で地上の生命は維持されている。

既知: 太陽のエネルギー源として化学反応では不十分

1840+ Mayer, Waterson,

1854 von Hemlholtz 重力崩壊を提唱

1859 Charles Darwin (種の起源) はウィールド地方(英)の浸食には3億年かかると試算。

1862 Lord Kelvinが強く反論、重力崩壊に基づいた隕石学的な理論から太陽年齢は2000万年以内。

1896 Henri Becquerelが自然放射能を発見。

1903 Curie と Laborde: 放射能による熱生成を確認。

1904 Rutherford: 未知の過程の存在を指摘。

疑問: 1) 太陽には放射性物質がほとんどない。

2) 質量一光度の関係を説明できない。

1905 Einstein 特殊相対論、E=mc²

1919 Russel: 中心温度 Tc がヒントであると指摘。

<u>1920 Aston: 精密原子質量測定: m(4H)>m(4He)</u>

Eddington: p + p fusion を即座に提案 → 太陽は1000億年以上。

疑問:陽子同士を如何に近づけるのか?解答:量子力学

(note: (p,p) 核融合の遅さは長期間の安定燃焼を保証する。 cf. Darwin)

1928 Gamow: 接触する確率を計算。

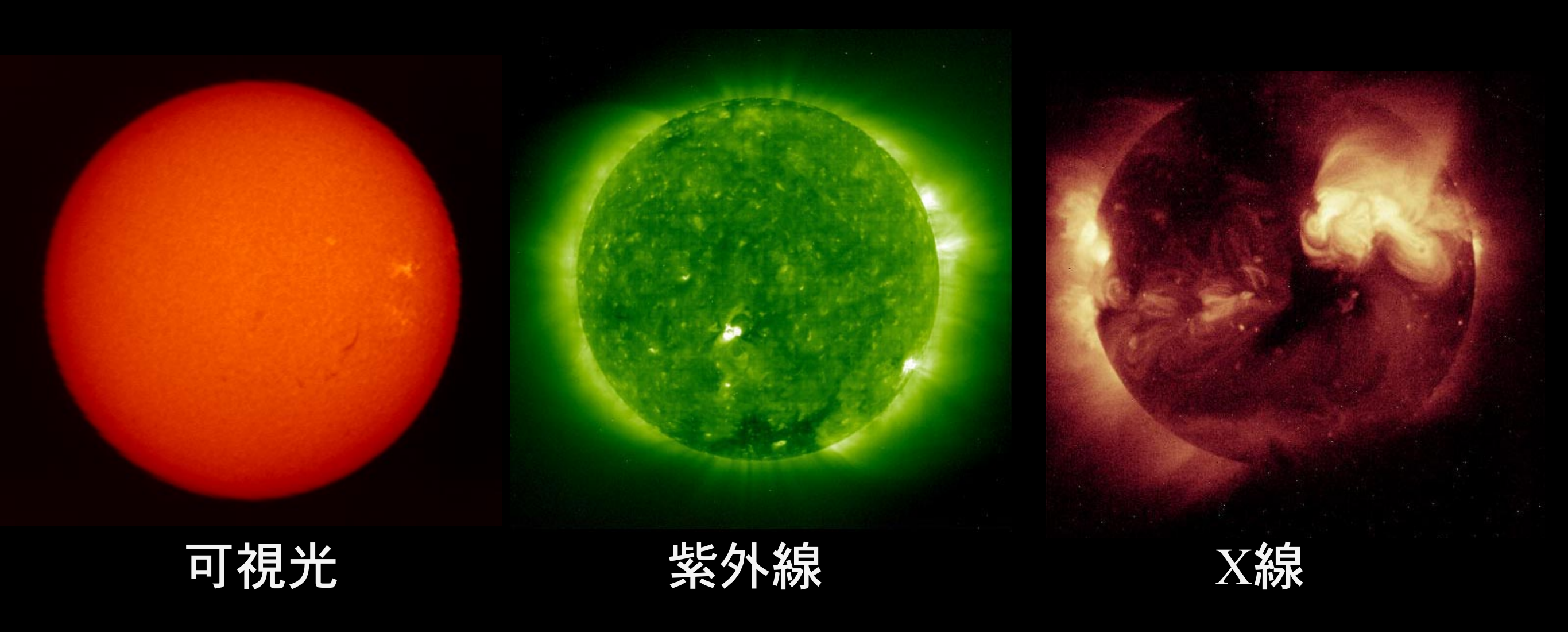
··· Aktinson+Houtermans, Gamow+Teller: 温度と反応率の関係を導出。

1938 von Weizacker CNO-cycleを発見 - 12C が触媒

1938 H. Bethe, Crichtfield: pp-chain を確立

1930 Pauli ニュートリノの導入 1932 Fermi β崩壊の理論

1956 Reines, Cowan ニュートリノの発見

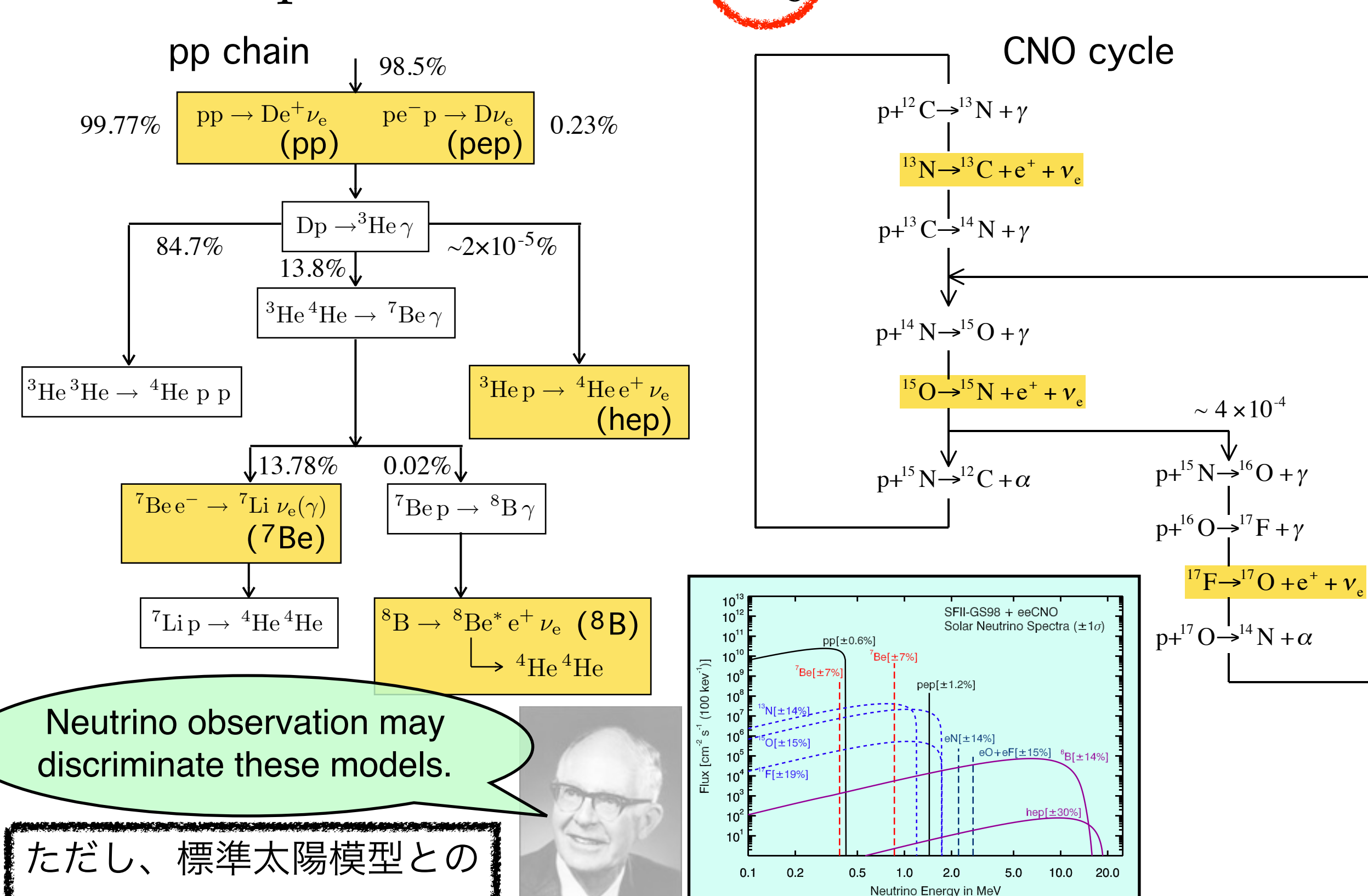


中心のエネルギーが表面に伝わるのは100万年程度 光学的には情報がかき消されている。

ニュートリノなら 2.3秒+500秒で情報を持ち出す。

Davis's original aim (pp-chain VS CNO-cycle)

$$4p \to \alpha + 2e^{+} + 2\nu_{e} + 24.69 \,\text{MeV}$$



R.Davis

比較が必要

標準太陽模型のやること

仮定: 球対称性、回転無し、磁場無し

初期状態 1M⊙=1.989×10³³g の一様な組成から

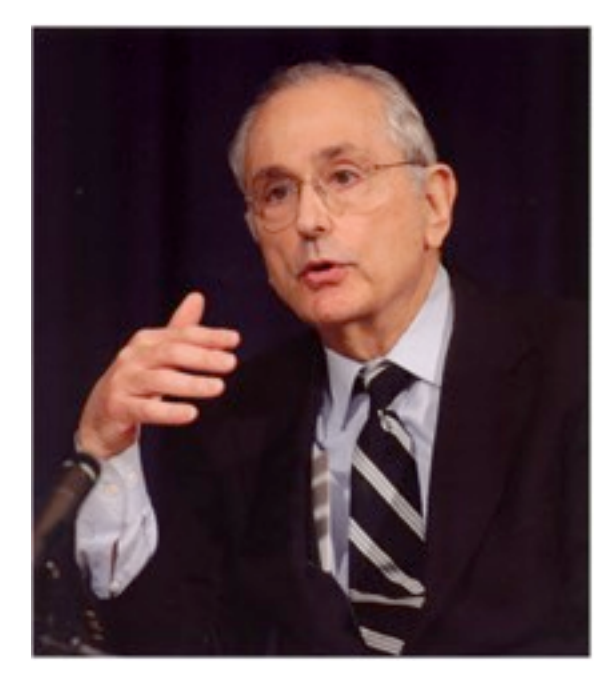
t_☉=45.7億年 発展させて、

現在の太陽を再現させる:

 L_{\odot} =3.842 ×10³³erg s⁻¹

 R_{\odot} =6.96 ×10¹⁰cm

 $(Z/X)_{\odot} = 0.0229(GS98) \rightarrow 0.0180(AGSS09)$



John N. Bahcall (1934-2005)

パラメータ

- 対流のさせ方: 1 parameter (α_{MLT}) mixing length theory
- 原始組成: $X+Y+Z=1 \Rightarrow 2$ free parameters, e.g. X, Z

原子核の反応断面積(当初は大きな誤差)

光に対する不透明さ

プラズマ状態

等の原子核物理の詳細な情報も必要

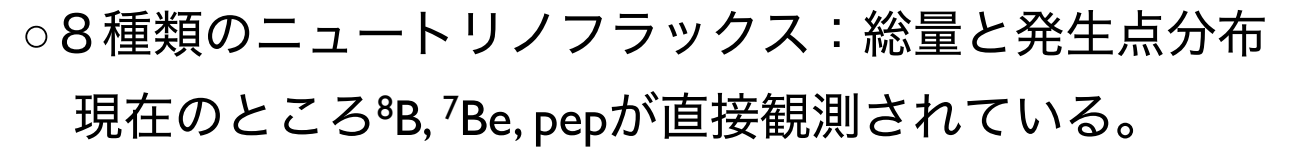
標準太陽模型の予測できるもの

内部構造: T(r), $\rho(r)$, $X_i(r)$, $n_e(r)$, $n_n(r)$

⇒ これらからニュートリノ生成量を計算できる。

$$\psi(pp) = \frac{1}{2} N_{AV}^2 X^2 \rho \langle \sigma v \rangle g^{-1} s^{-1}$$

$$\frac{d(Flux_{pp})}{d(R/R_{\odot})} = C_{pp}r^{2}\rho\psi(pp); \quad \int \frac{d(Flux_{pp})}{d(R/R_{\odot})}d(R/R_{\odot}) = 1$$

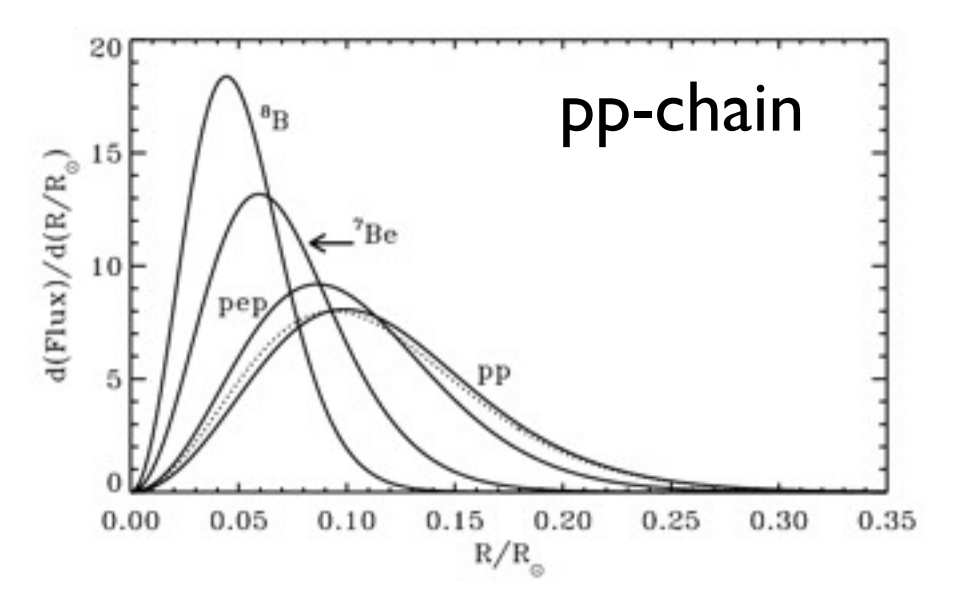


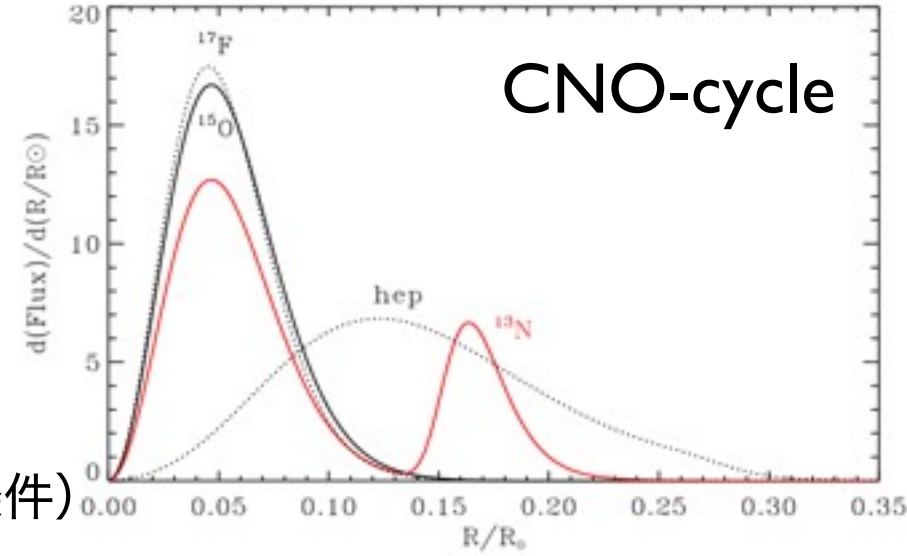
- ○原子核熱反応と重力エネルギー(無視できる)から太陽の明るさ(束縛条件) 💹
- ○化学組成の内部での分布 → 電子と中性子の密度分布(vの伝搬計算に必要)



- osound speed profile c(r)
- ○密度分布 ρ*(r)*
- ○対流層の深さ *R_{CZ}*
- \circ 表面のヘリウム量 Y_S

模型の正しさは、ニュートリノ観測や磁場観測、振動学などによって独立に検証できる。

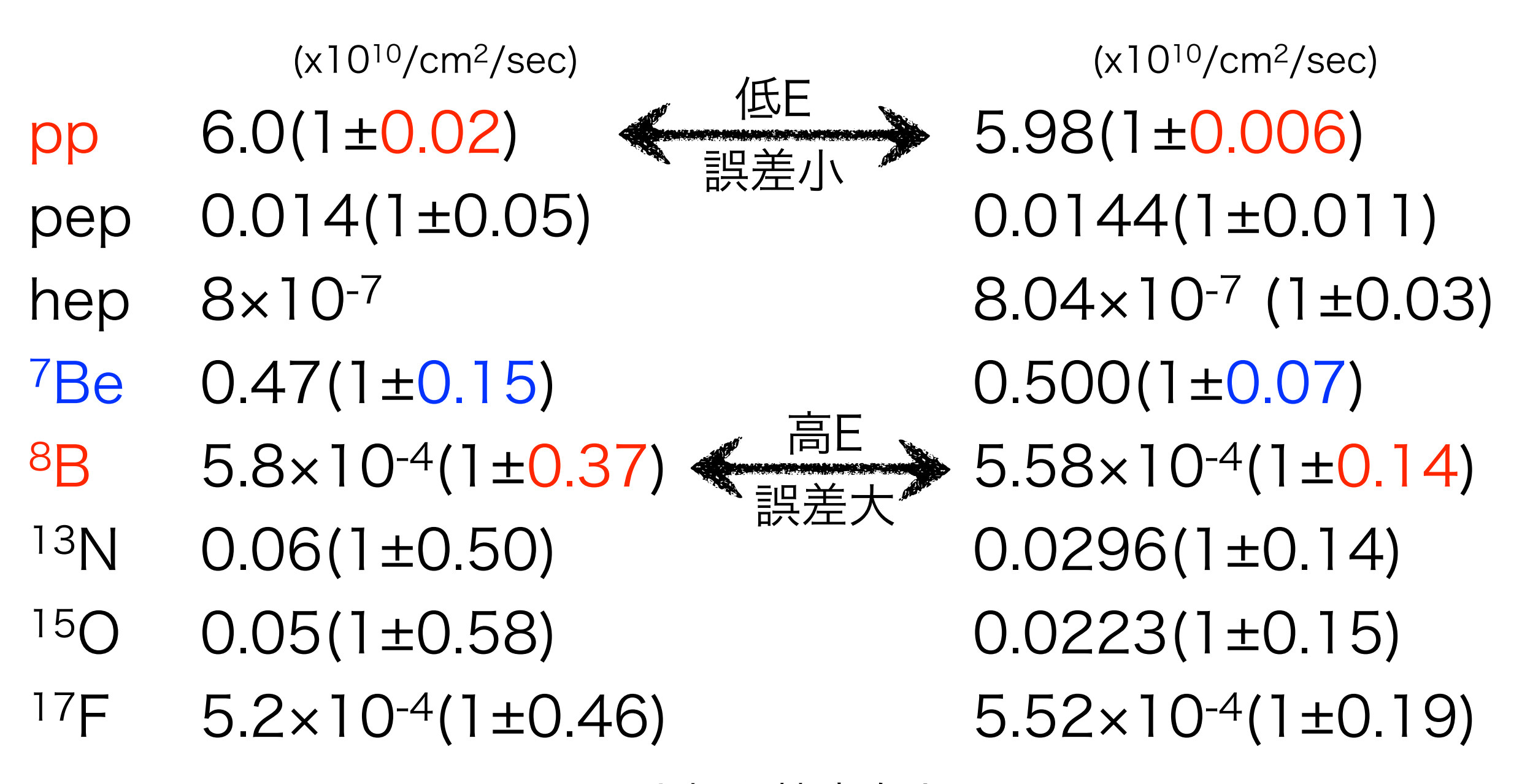




ニュートリノフッラクス計算の精度

Neutrino Astrophysics (1989)

arXiv:1601.07179 (SFII+GS98)



大幅な精度向上は 地下での核融合断面積の測定 が大きい。

太陽ニュートリノの観測

pep,hep,CNO ~10%

反応断面積も誤差要因

The Pioneer: Chlorine Experiment

@ Homestake mine (4200mwe), 1964-1994

Auger e⁻, X)

tank chamber

37Arをバブリング捕集して比例 計数管で測定(放射化学的測定)

捕集効率(95%!!), 計数効率(42%)が誤差要因、 エネルギー情報無し、時間情報は月単位

最終結果(1970-1994のデータ)

測定結果 2.56±0.23 SNU (10-36 captures/atom/sec)

標準模型 8.2±1.8 SNU (BP04) 太陽ニュートリノ問題

標準太陽模型の問題?

単独では

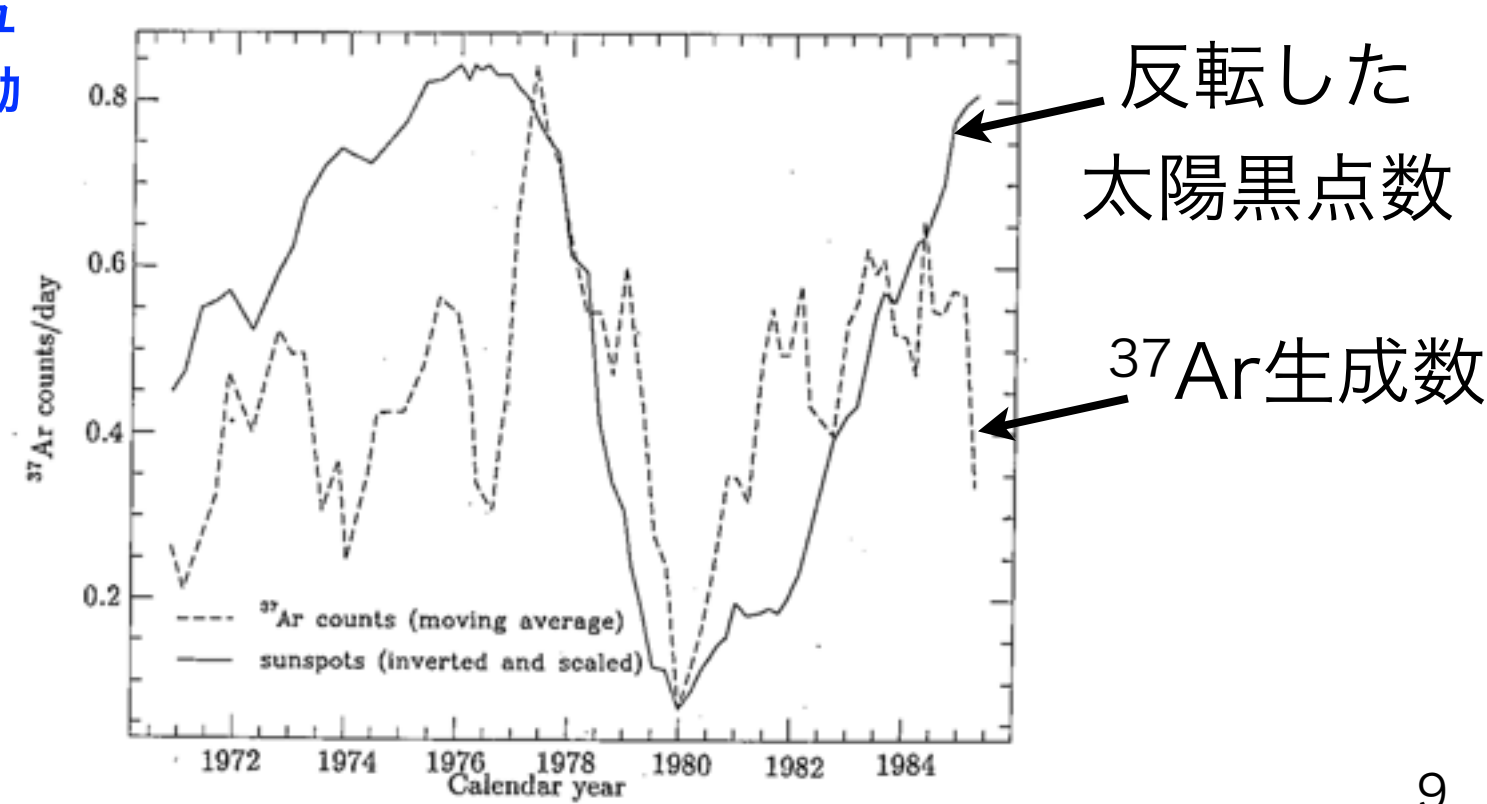
ニュートリノの問題?

観測の問題?

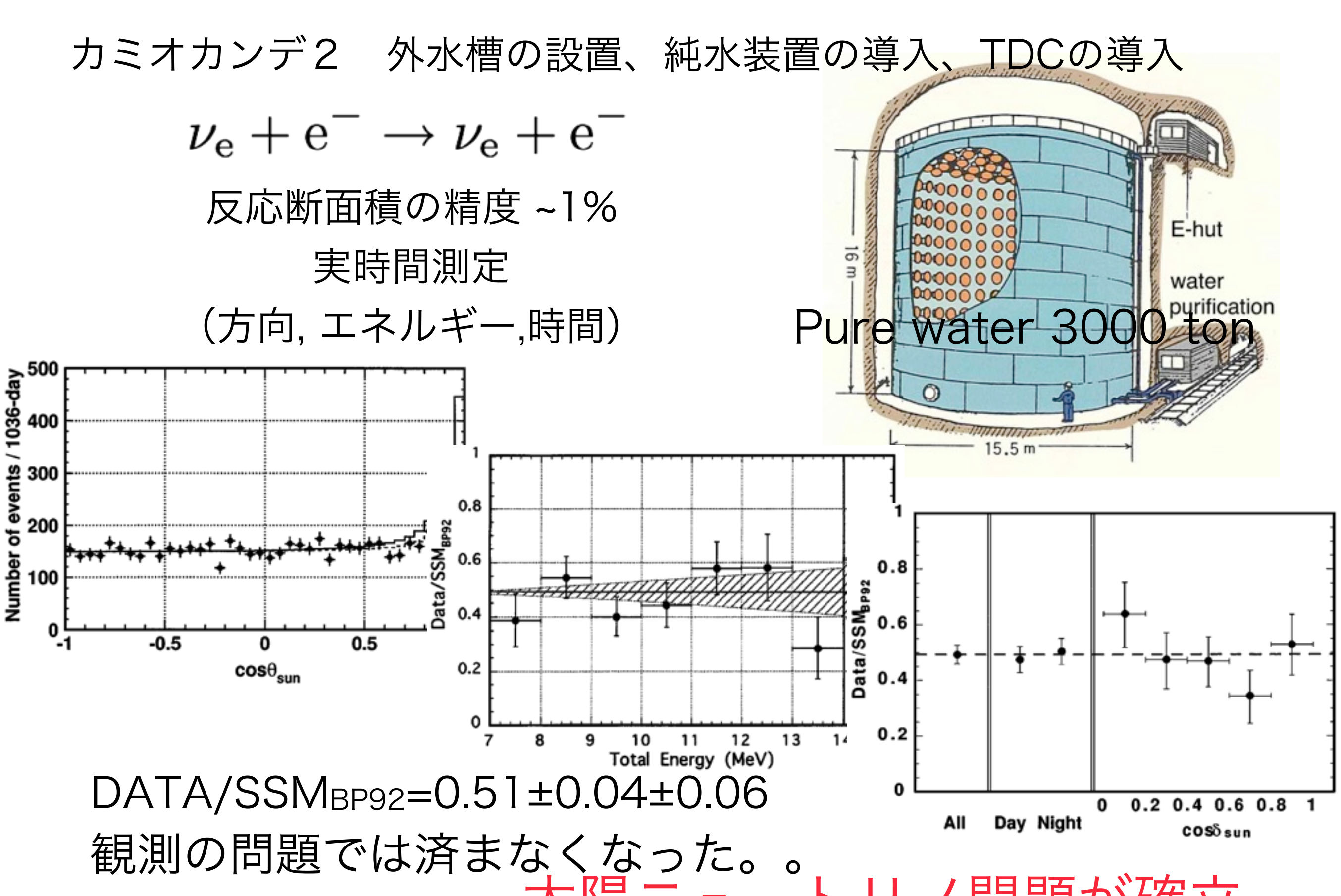
区別できない

2世代ニュートリノ振動なら

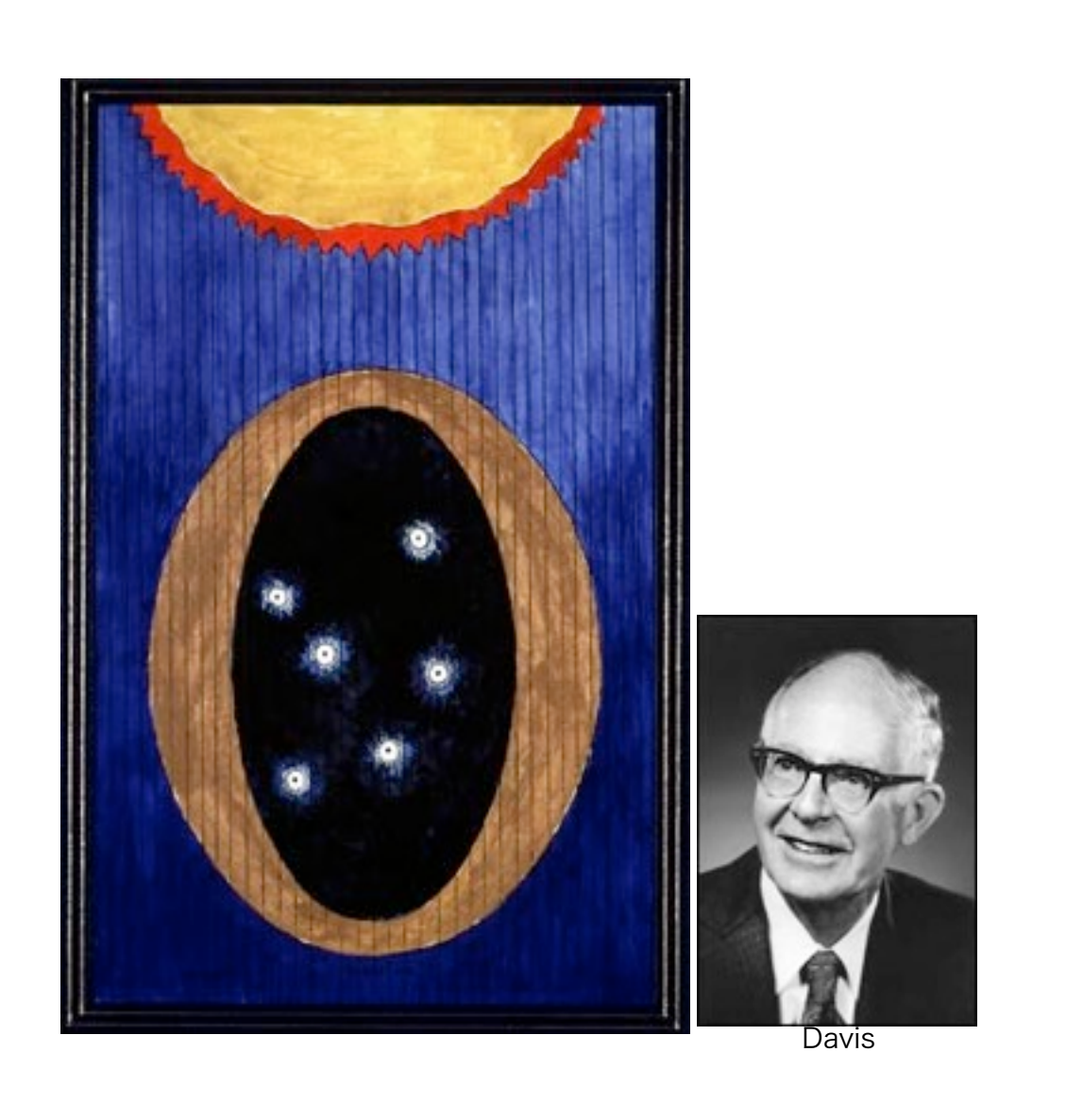
黒点数との反相関!? 磁気モーメントなのか??

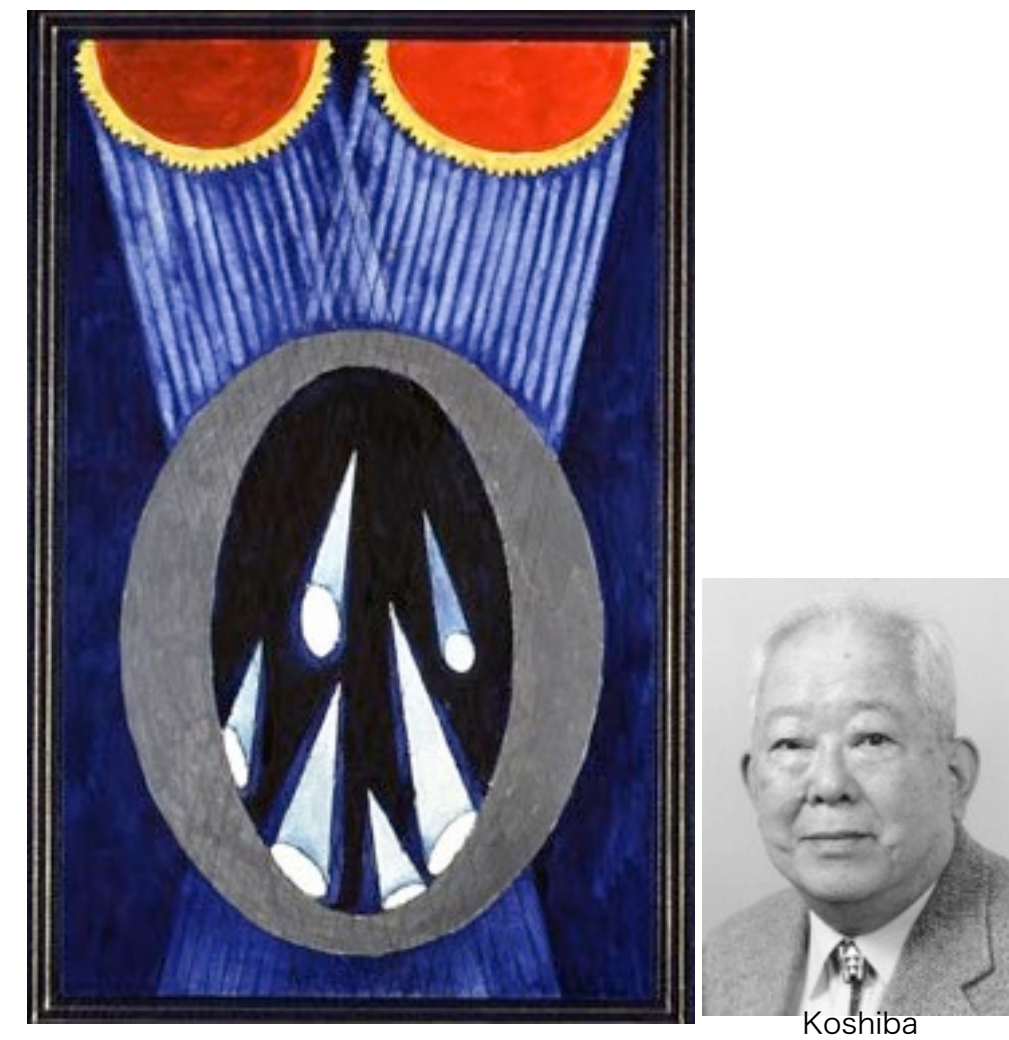


カミオカンデ@神岡鉱山(2700mwe)参戦 (1987~1994)



2002年ノーベル物理学賞「ニュートリノ天文学の創出」









@Gran Sasso (3500mwe)1991-2003塩化ガリウム塩酸水溶液ガリウム30トン

SAGE

@Baksan (4800mwe) 1990~ 金属ガリウム50トン

pp+pep ~60%

7Be ~30%

⁸B,hep,CNO ~10%

71 Geをバブリング捕集 して比例計数管で測定

測定結果 68.1±3.75 SNU (combined) 標準模型 127+12-10 SNU (BPO4)

ニュートリノの問題で決着しそうだが、⁷BeをOにするとなんとか。。。

ニュートリノ実験からのアプローチ

誤差の小さい低エネルギーを観測したい Gallex/GNO, SAGE

直接的な証拠が欲しい (季節変動、日夜変動、スペクトル歪み)
Kamiokande → Super-Kamiokande

直接的な証拠が欲しい (フレーバー変換) SNO

⁷Beが問題なのか? Borexino, KamLAND

人工ニュートリノを使えないか? KamLAND

<u>History of Super-Kamiokande</u>

2001 2004 1997 1998 1999 2000 2002 2003 2005 2006 2007 | 2008 | 2009 2010 1996

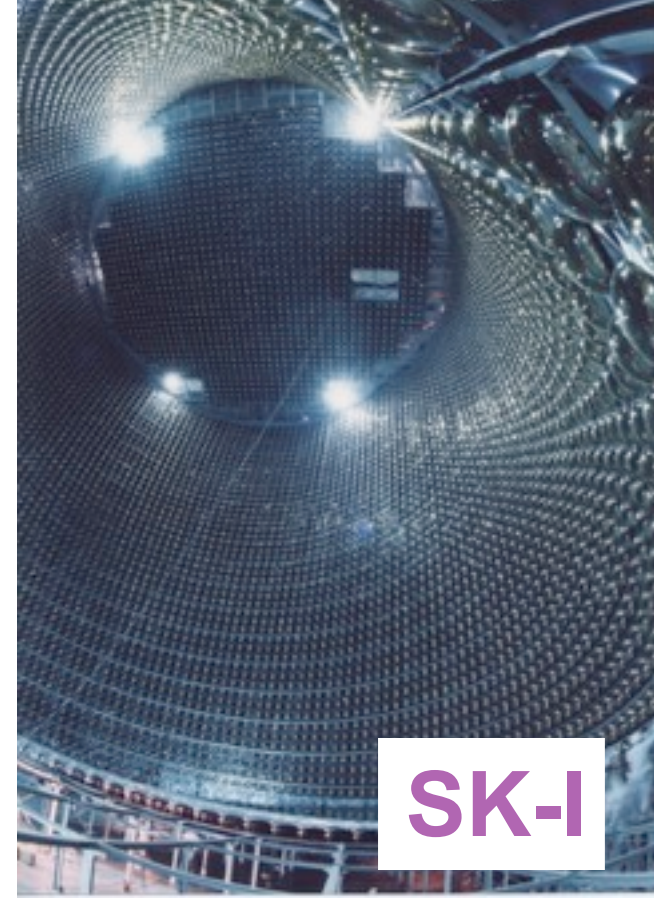
SK-I

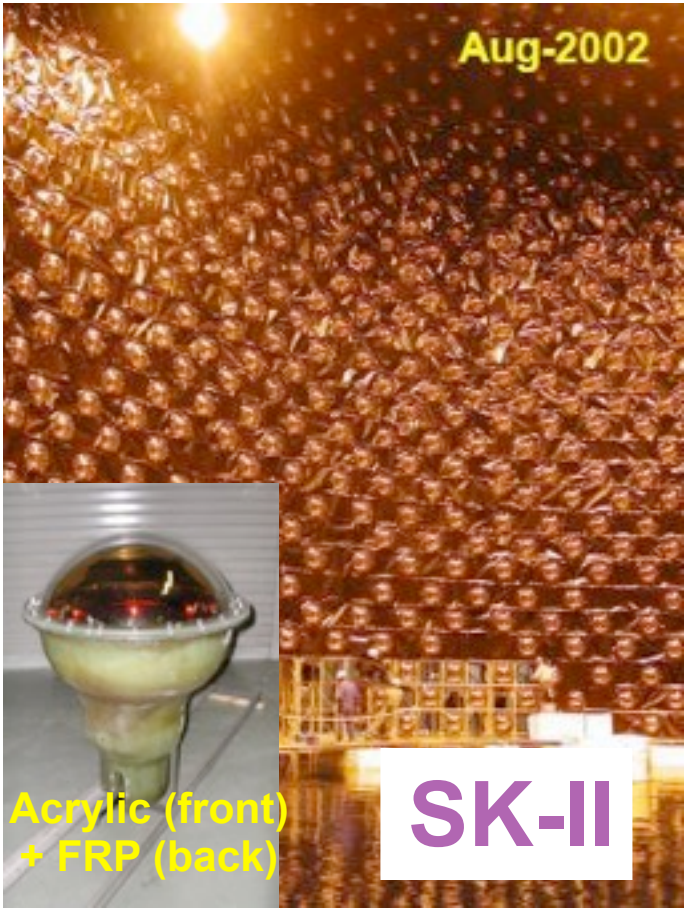


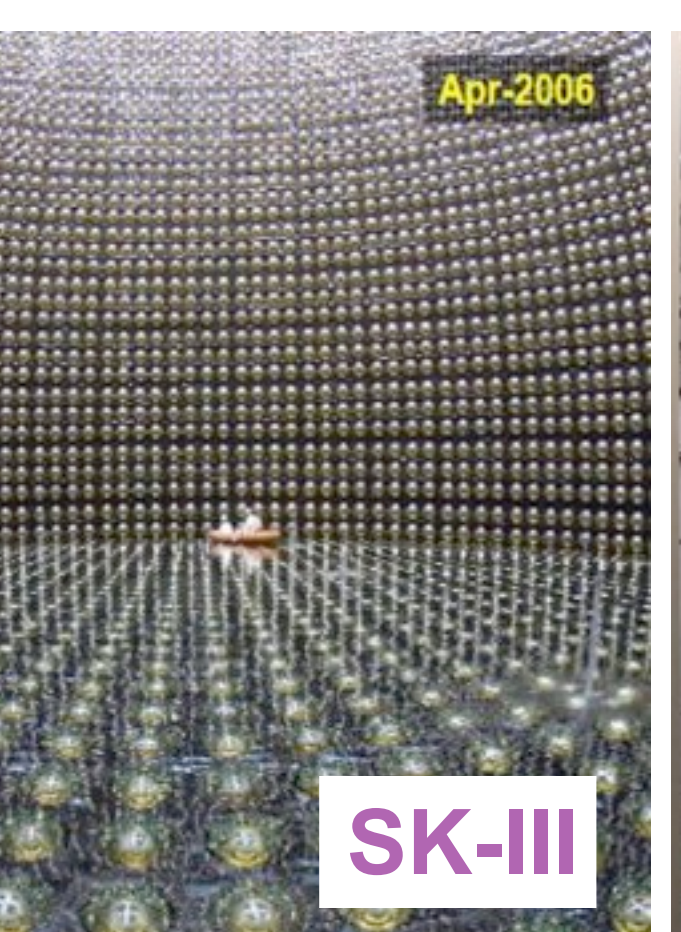
SK-II



SK-IV









11146 ID PMTs (40% coverage)

5182 ID PMTs (19% coverage)

11129 ID PMTs (40% coverage) **Electronics Upgrade**

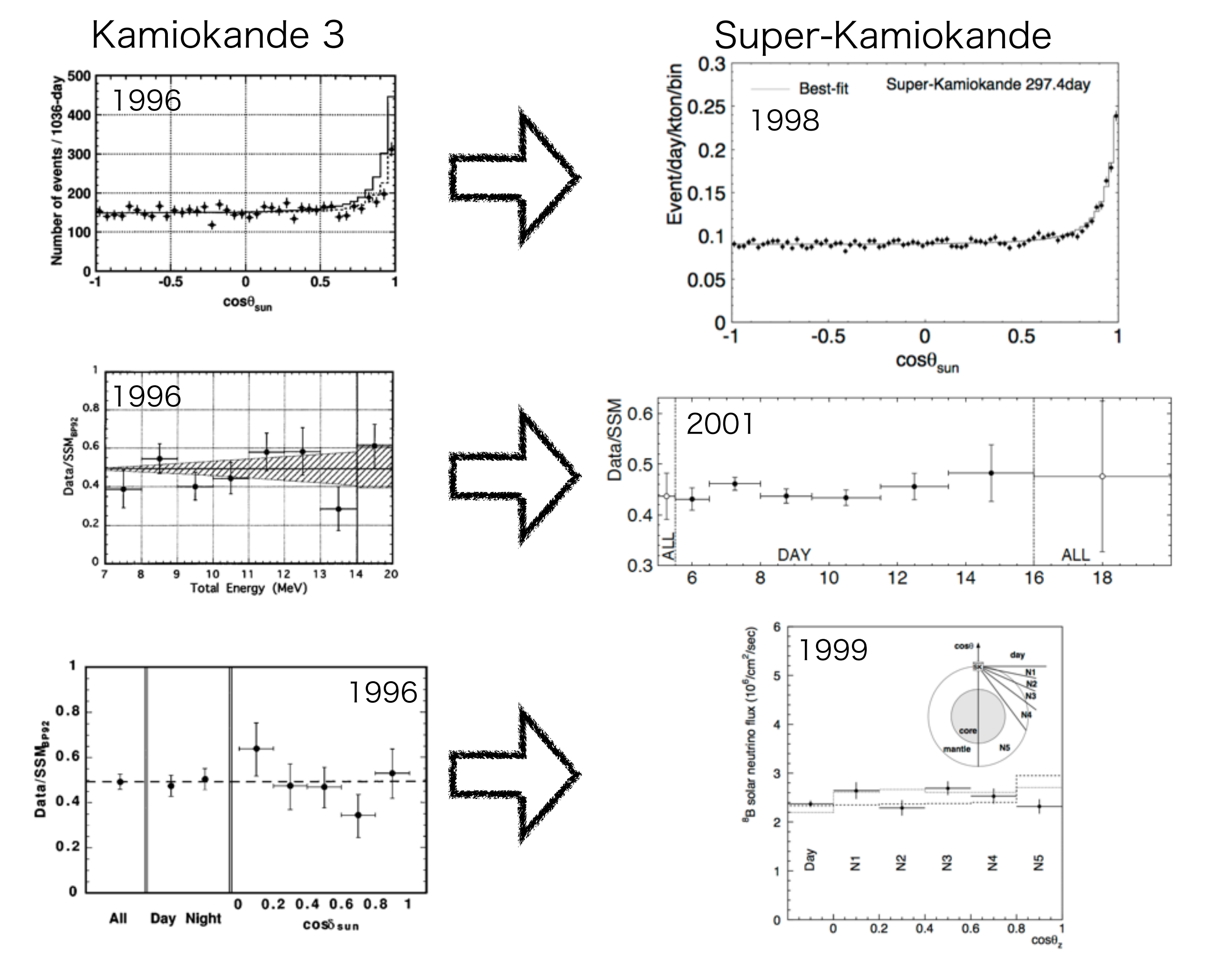
Threshold (Total) (Kinetic)

5.0 MeV ~4.5 MeV

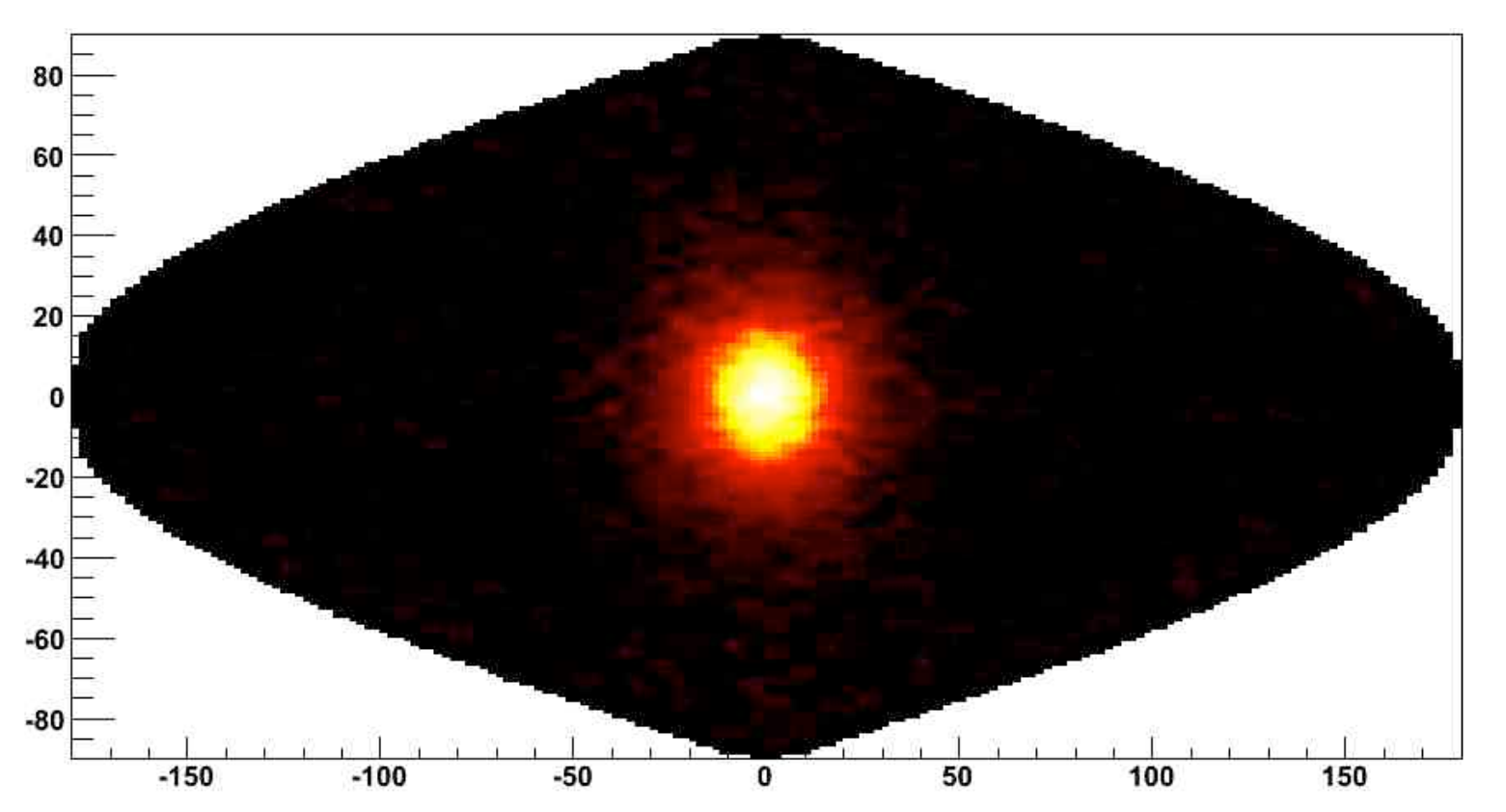
7.0 MeV ~6.5 MeV

5.0 MeV ~4.5 MeV

4.0 MeV ~3.5 MeV



太陽ニュートリノグラフィー



SKで撮影 露出時間4500日 本当の大きさ ・

精度は大幅に向上したが、

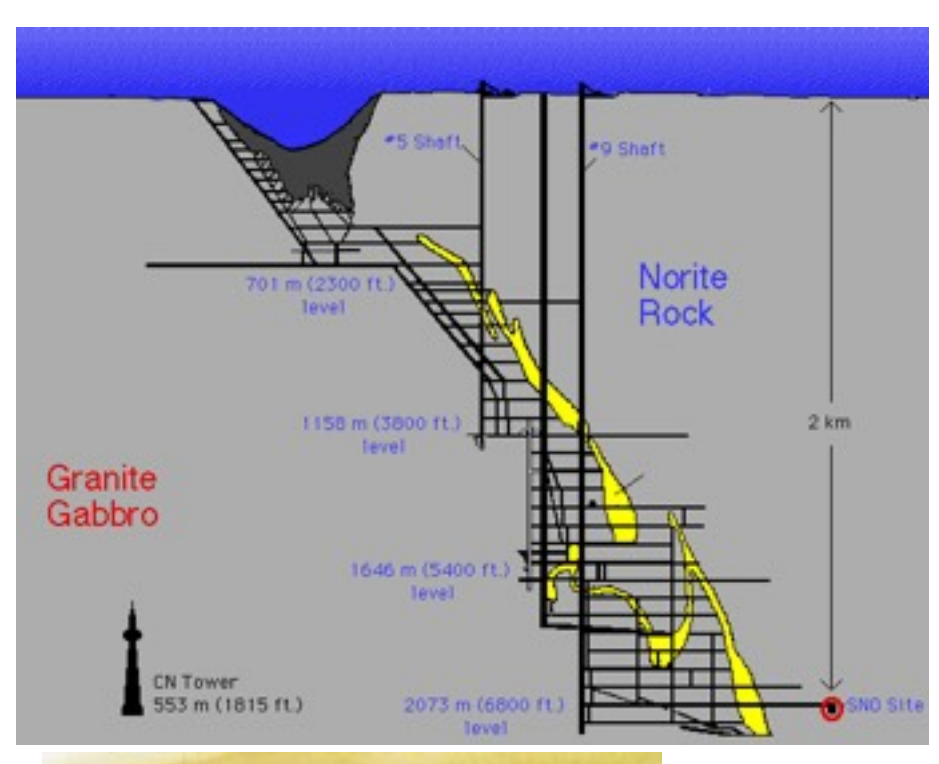
直接的なニュートリノ振動の証拠はまだみつからない。。

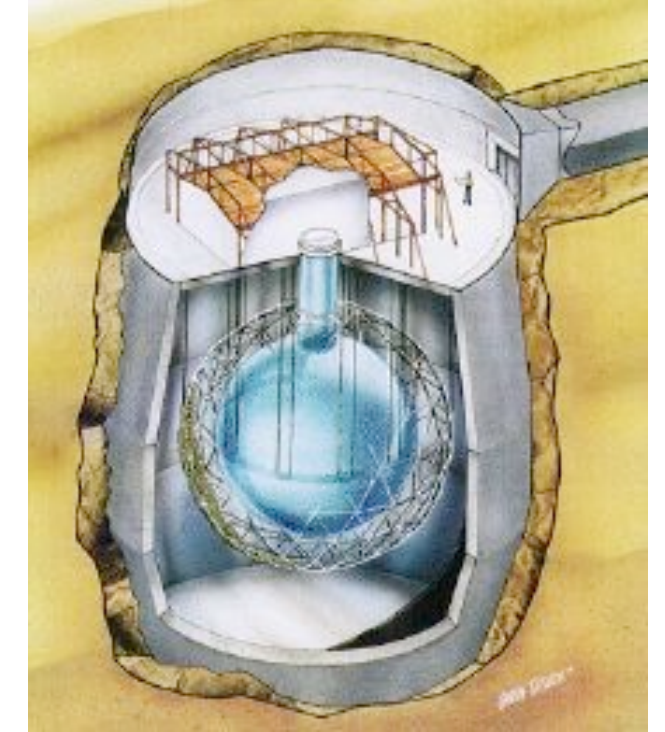
純水の代わりに重水を使ったSNO実験

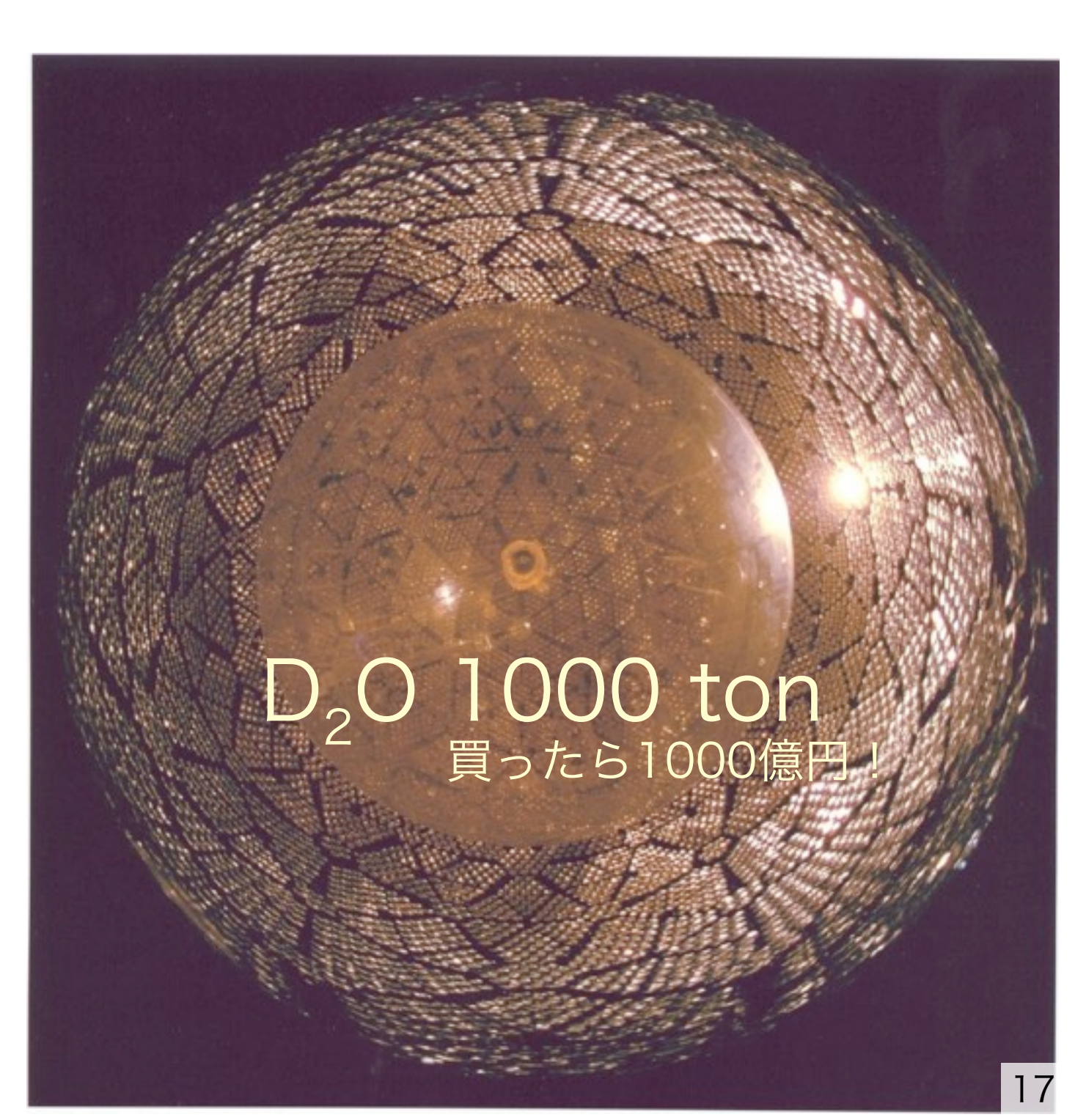
@Sudbury, Canada (6010mwe)

$$D + \nu \rightarrow p + n + \nu$$
 exists

全てのニュートリノに同じ感 度がある中性カレント反応

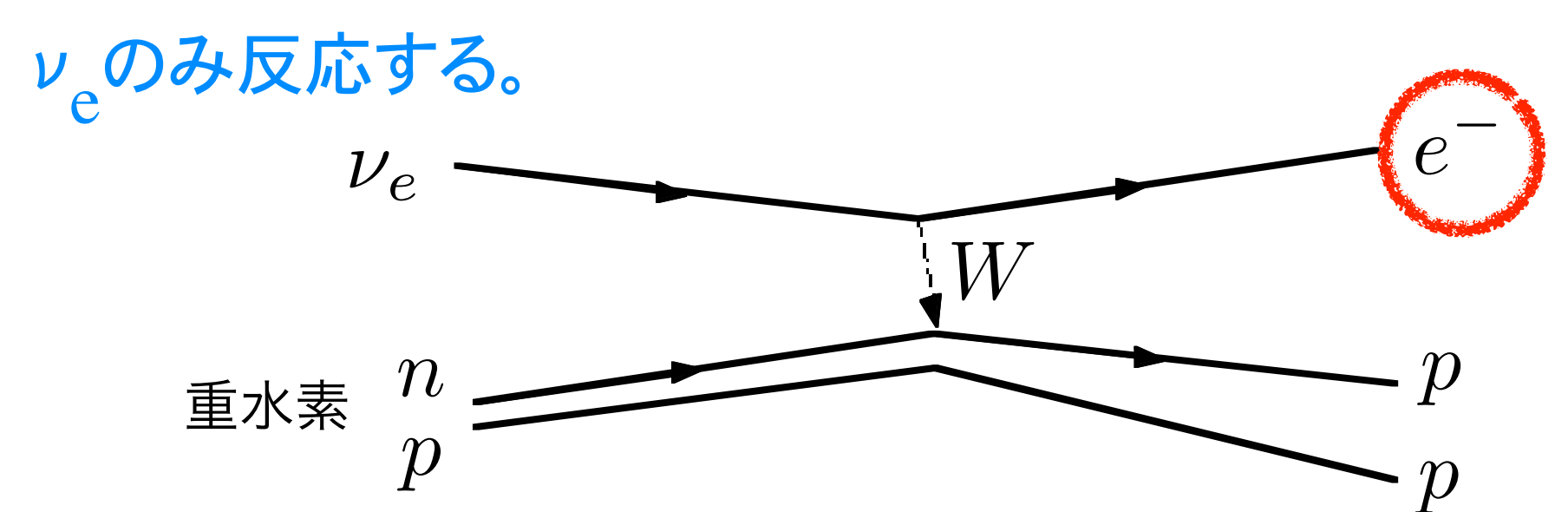




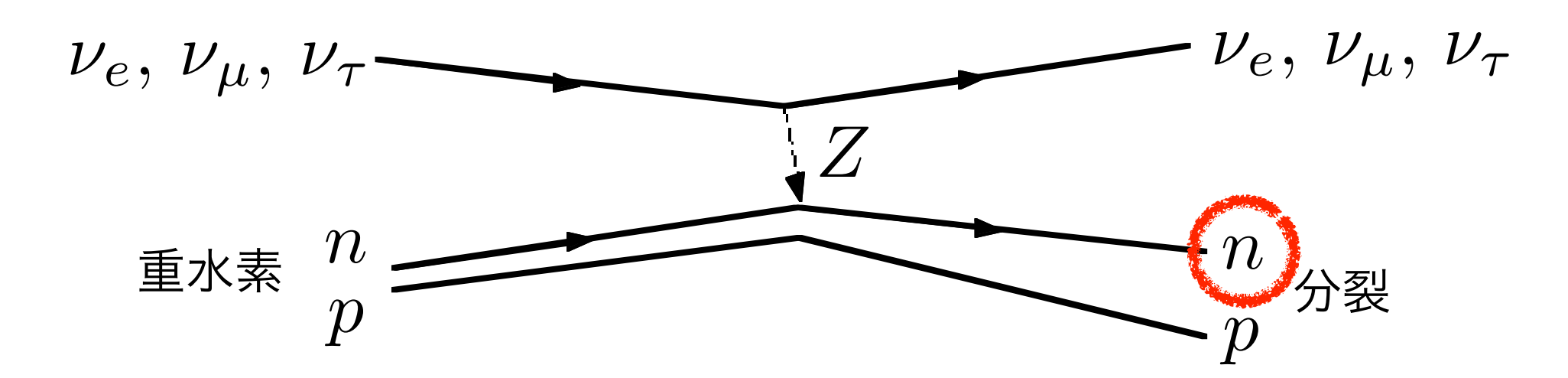


荷電カレント(CC)と中性カレント(NC) SNOの特徴

荷電カレント反応はμー,τーを作るのにエネルギーが足りないため



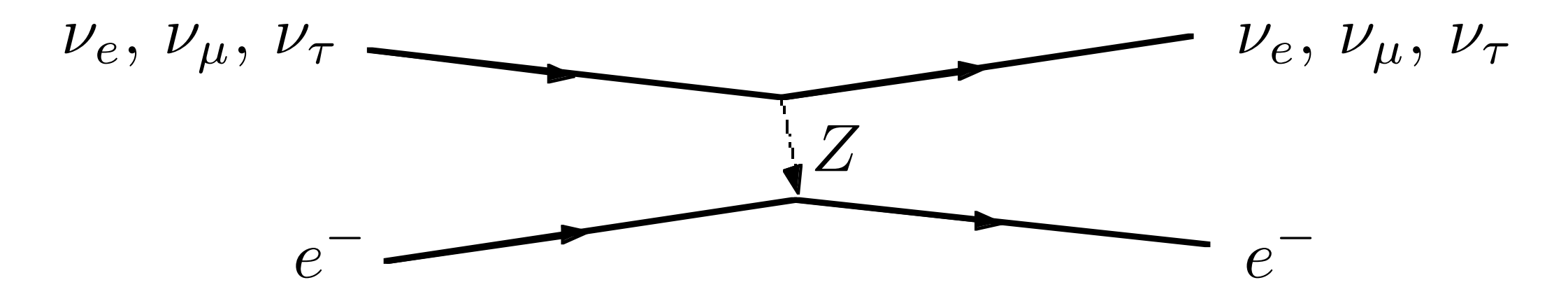
中性カレント反応は全て同じように起きる。



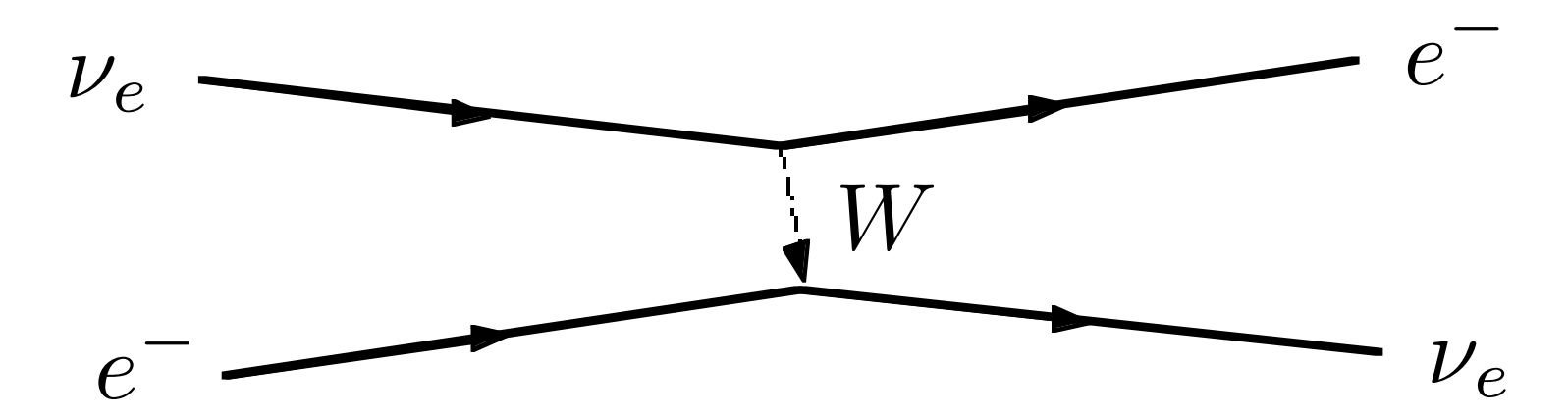
電子散乱 (ES) の場合

Kam, SK, SNO, Borexino, KamLAND

中性カレント反応は同じ。

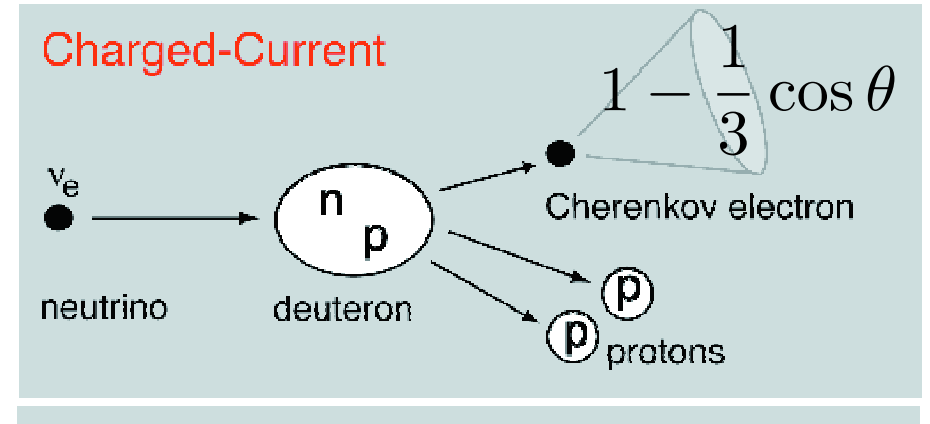


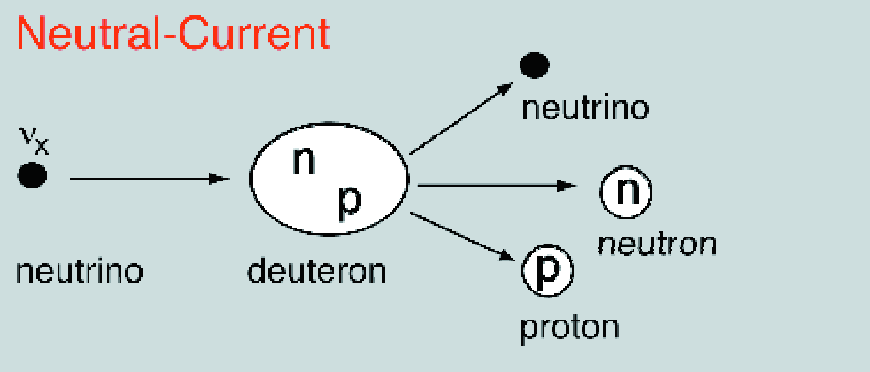
電子ニュートリノだけ荷電カレント反応もできる。

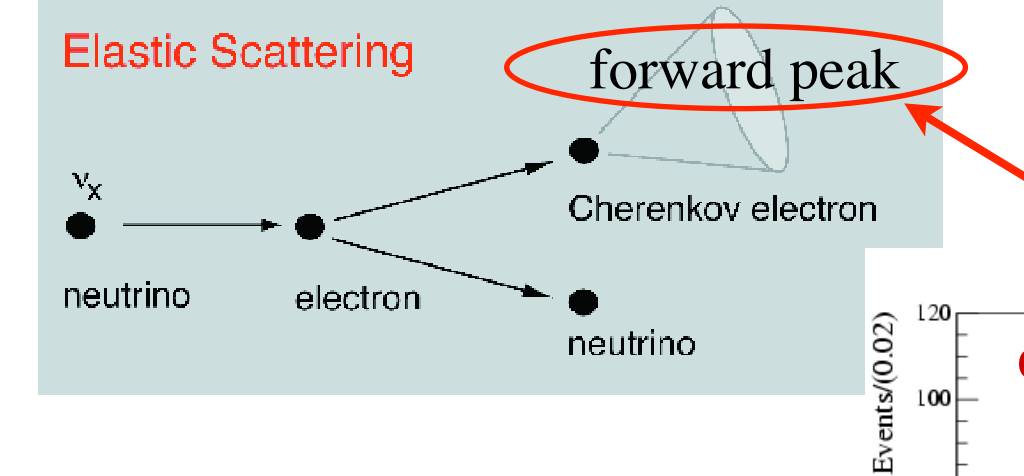


電子ニュートリノは約6倍大きい反応断面積を持つ。

Neutrino reactions in SNO



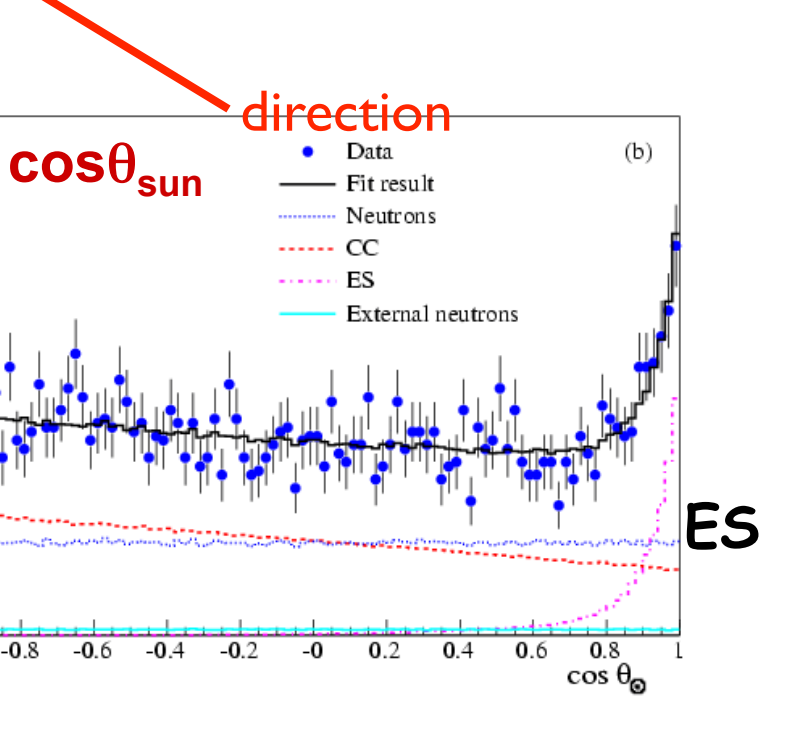


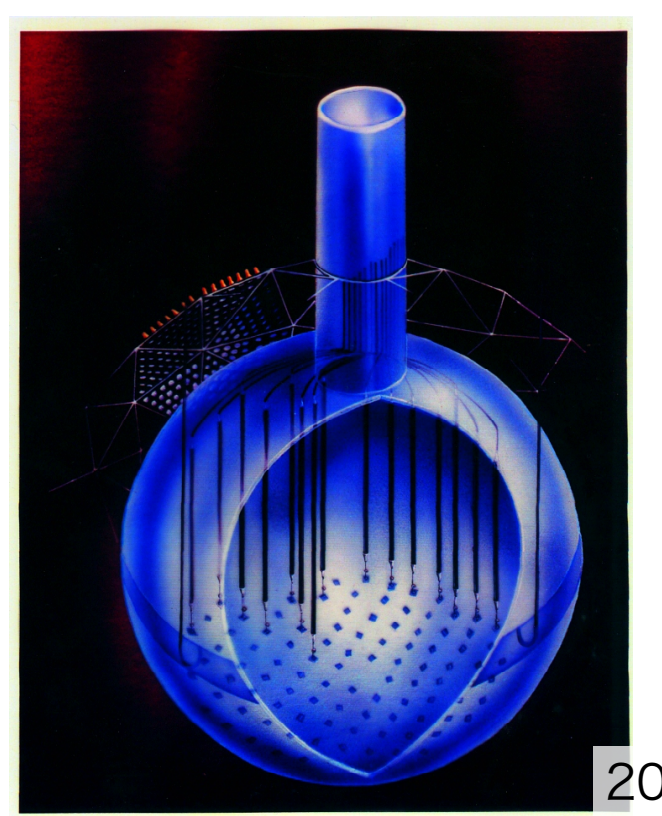


中性カレントの中性子観測は3種類 phase I (pure D2O) n capture on D \rightarrow 6.25 MeV γ phase II (+salt) n capture on CI \rightarrow 8.6 MeV γ s

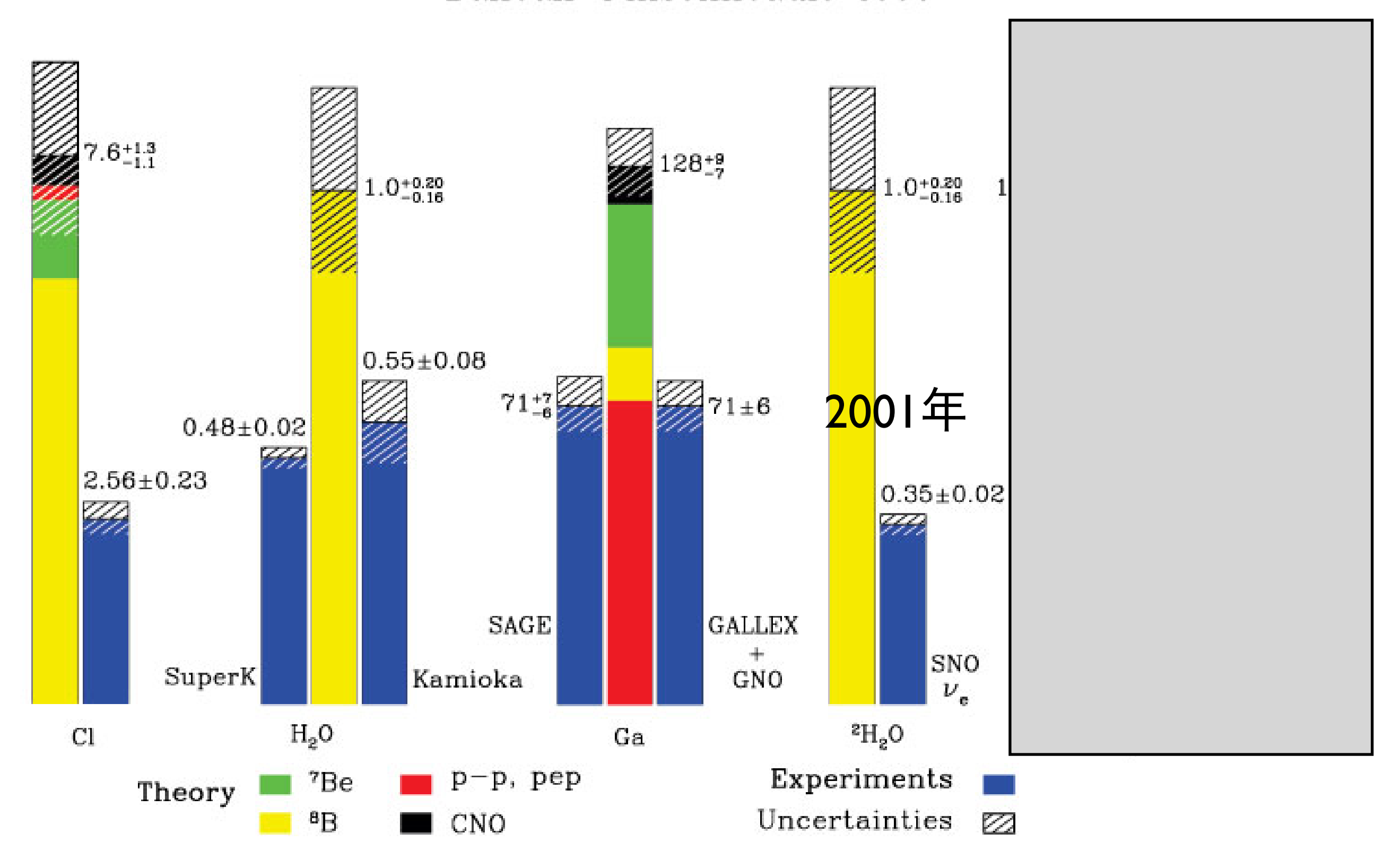
$$^{3}{\rm He} + n \rightarrow p + \,^{3}{\rm H} + 0.76\,{\rm MeV}$$

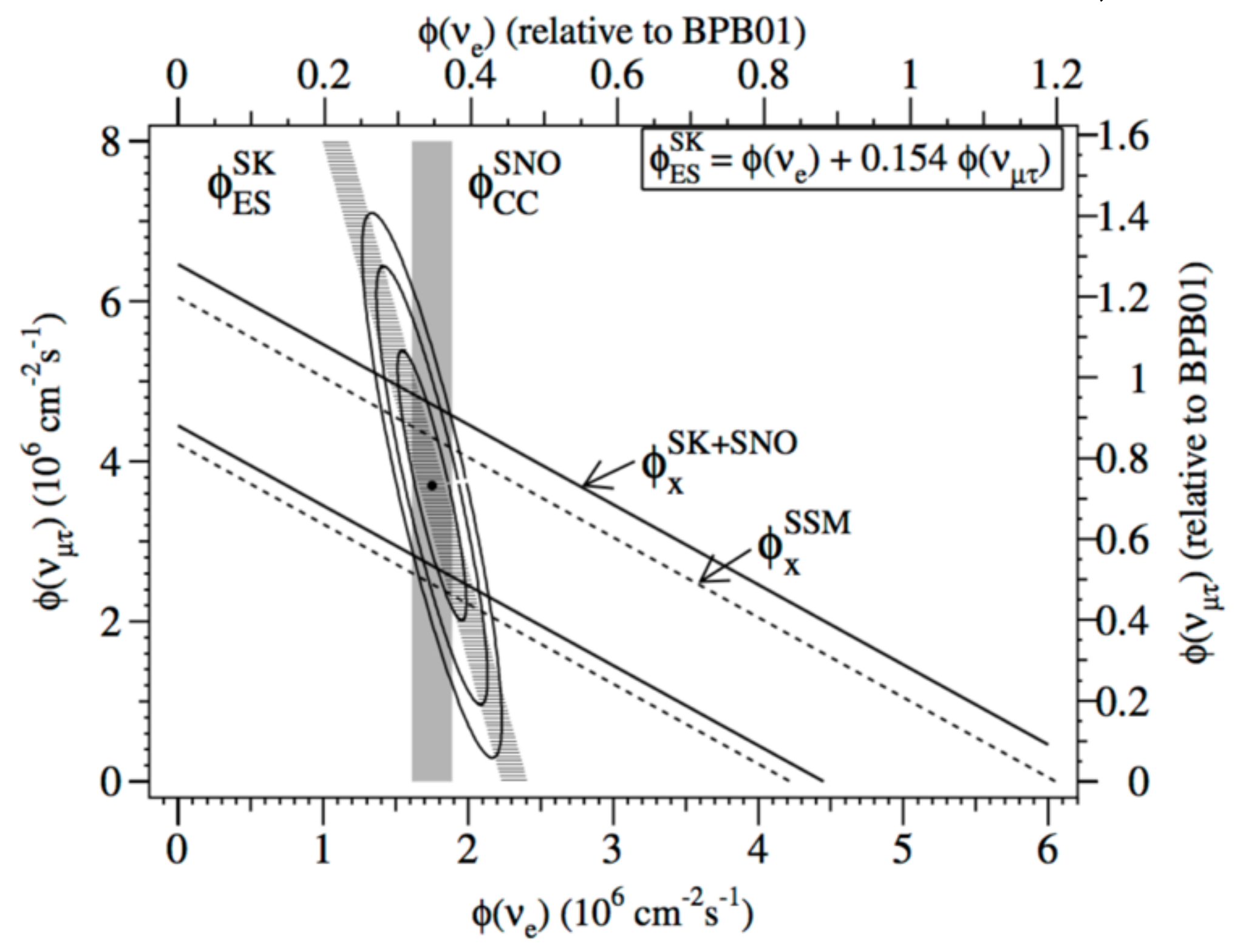
phase III (3He counters)





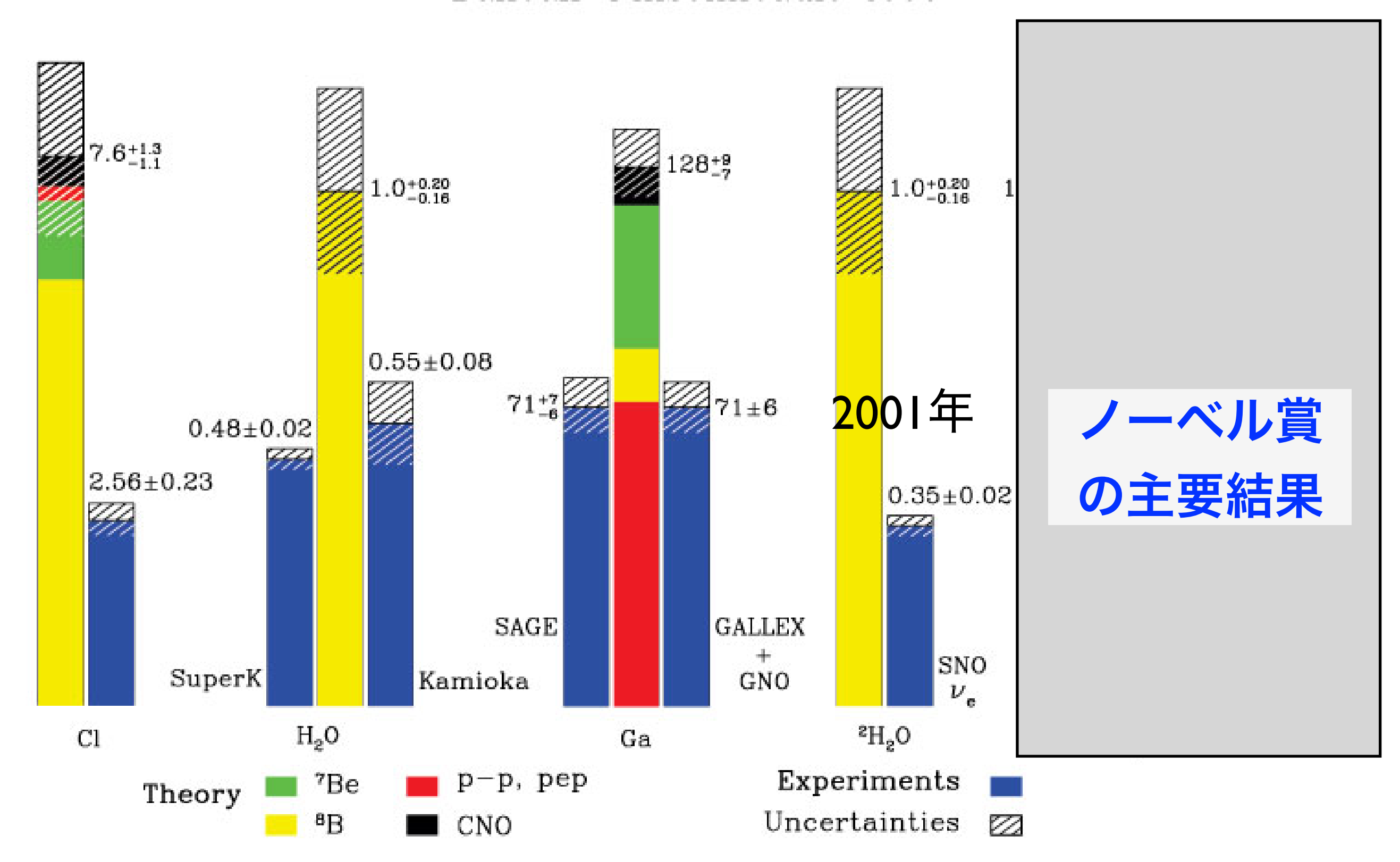
Total Rates: Standard Model vs. Experiment Bahcall-Pinsonneault 2000



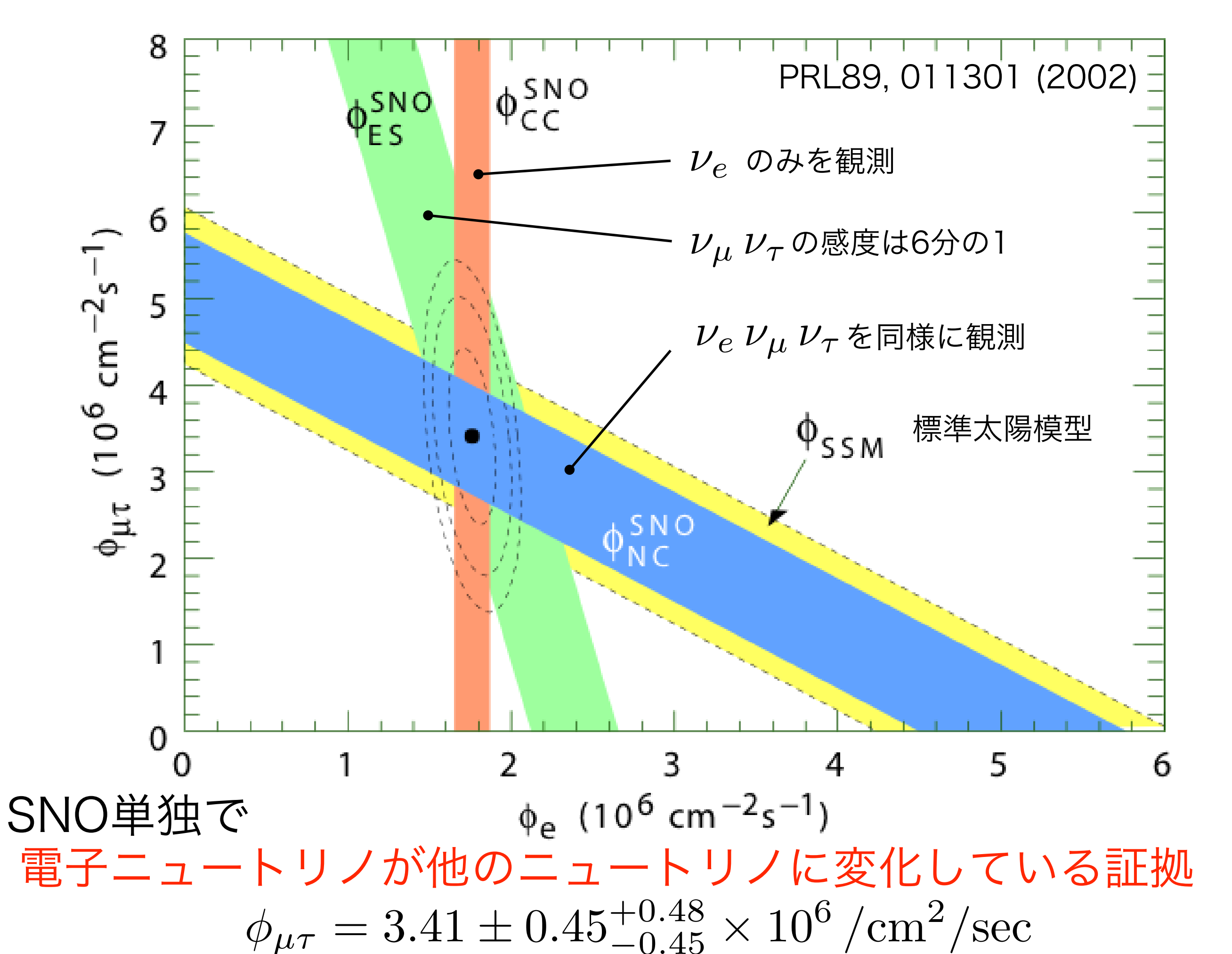


実は、2001年段階でSK ES と SNO CC で フレーバー変換の証拠があった。

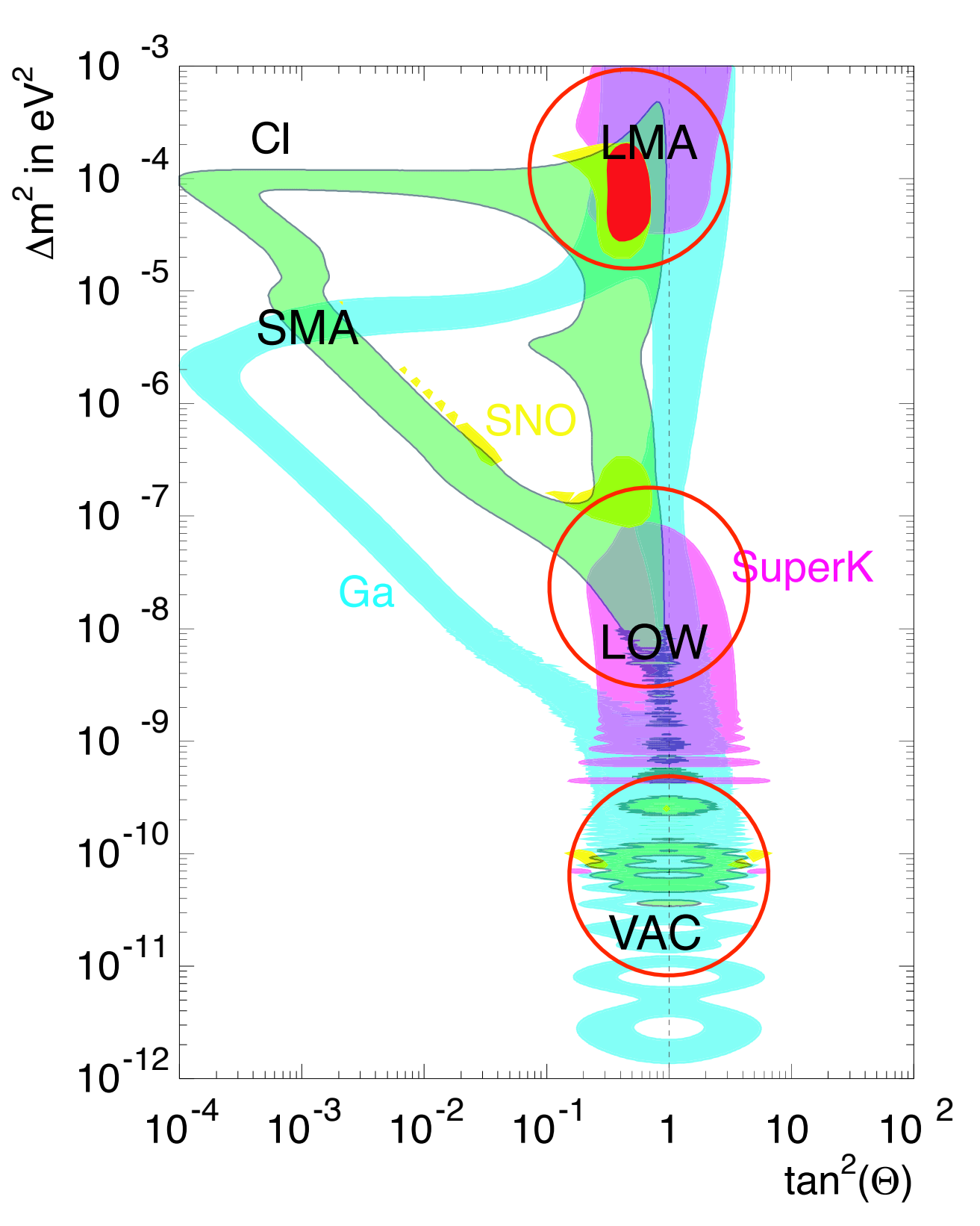
Total Rates: Standard Model vs. Experiment Bahcall-Pinsonneault 2000



全種類を観測すれば太陽ニュートリノは欠損していない。



ニュートリノ振動を仮定すると



LMA 有力 SMA SKが排除 LOW VAC

他の仮説の可能性も!

RSFP (磁気モーメント)
FCNC (フレーバー変換中性カレント)
decay (崩壊)
decoherence (デコヒーレンス)

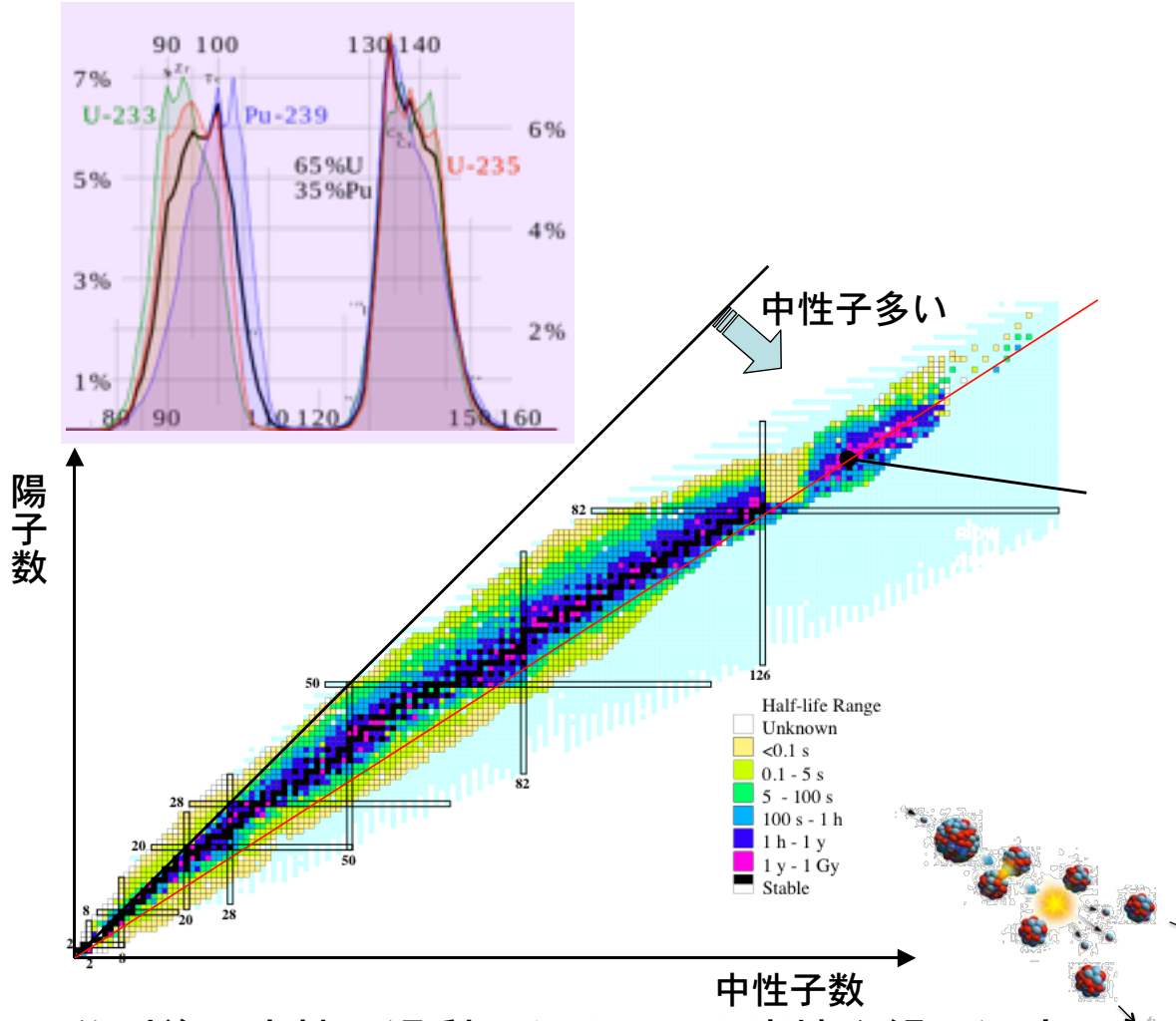
まだ太陽ニュートリノ問題の解は特定できていない!!

etc.

長基線原子炉ニュートリノ振動

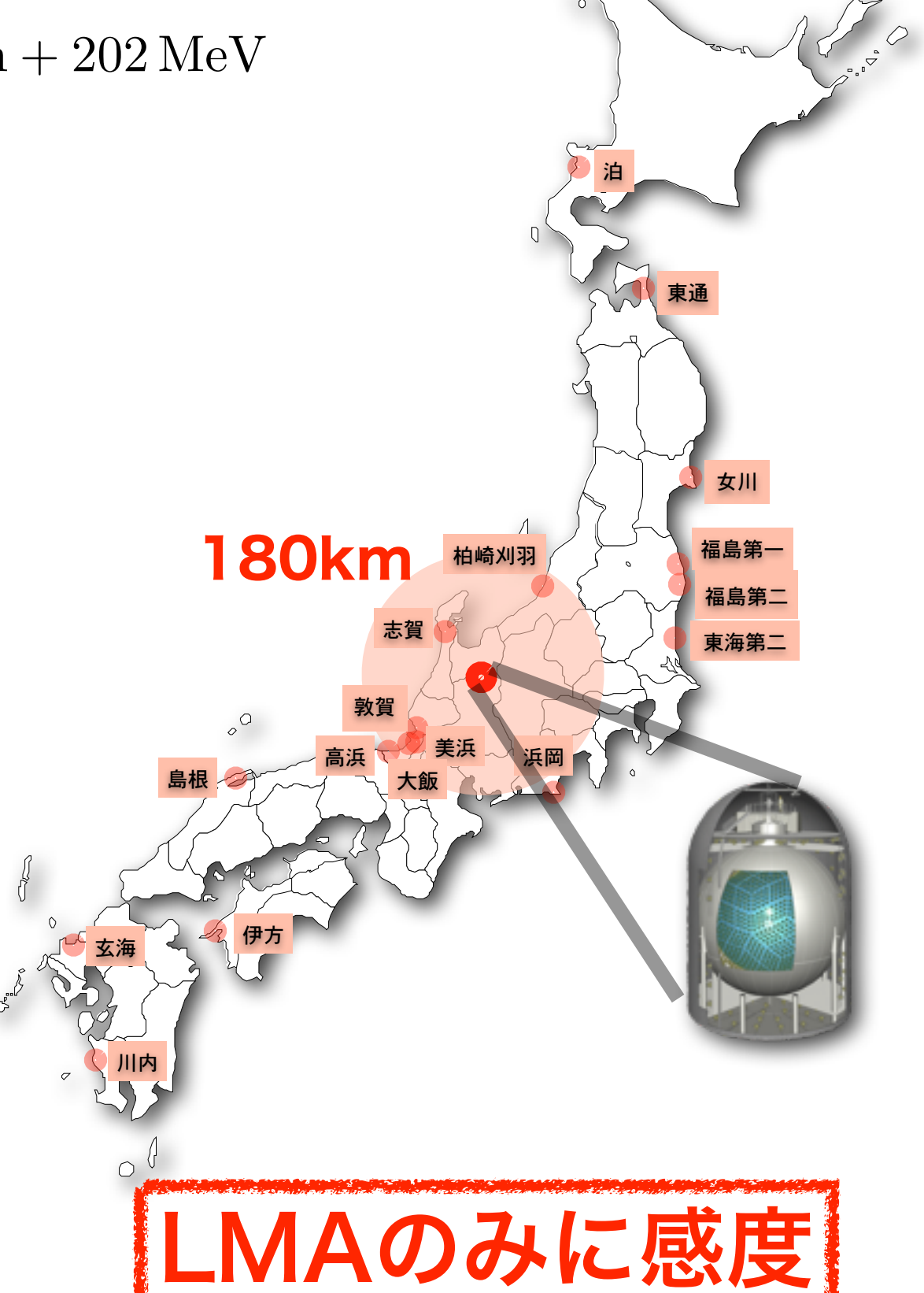
 $^{235}{
m U}+{
m n}
ightarrow X+Y+6.1e^-+6.1ar
u_e+2.5{
m n}+202\,{
m MeV}$ その他 $^{239}{
m Pu},~^{238}{
m U},~^{241}{
m Pu}$

世界全体で約1兆ワット国内は約1500億ワット



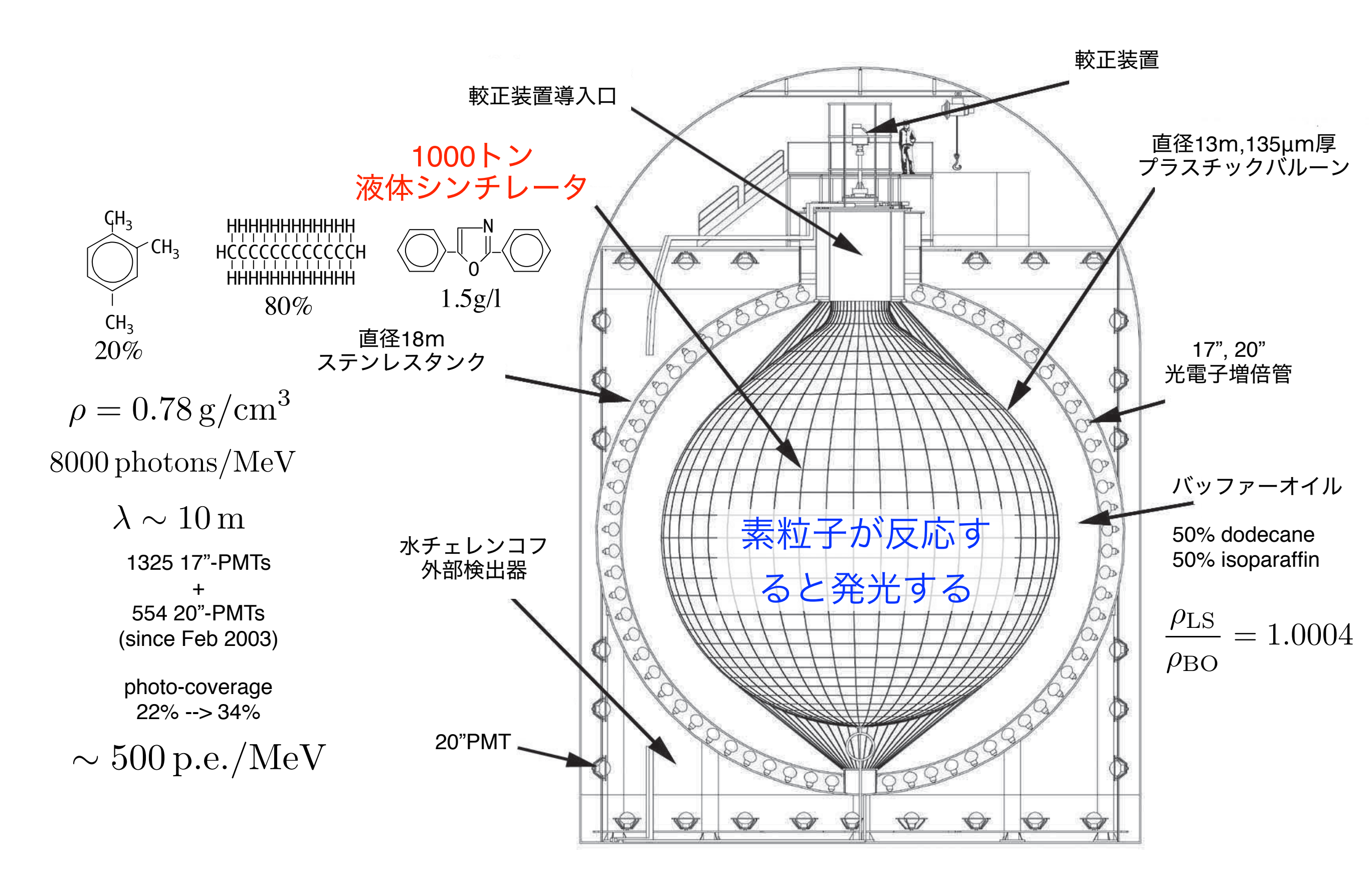
分裂後は中性子過剰のためベータ崩壊を繰り返す。

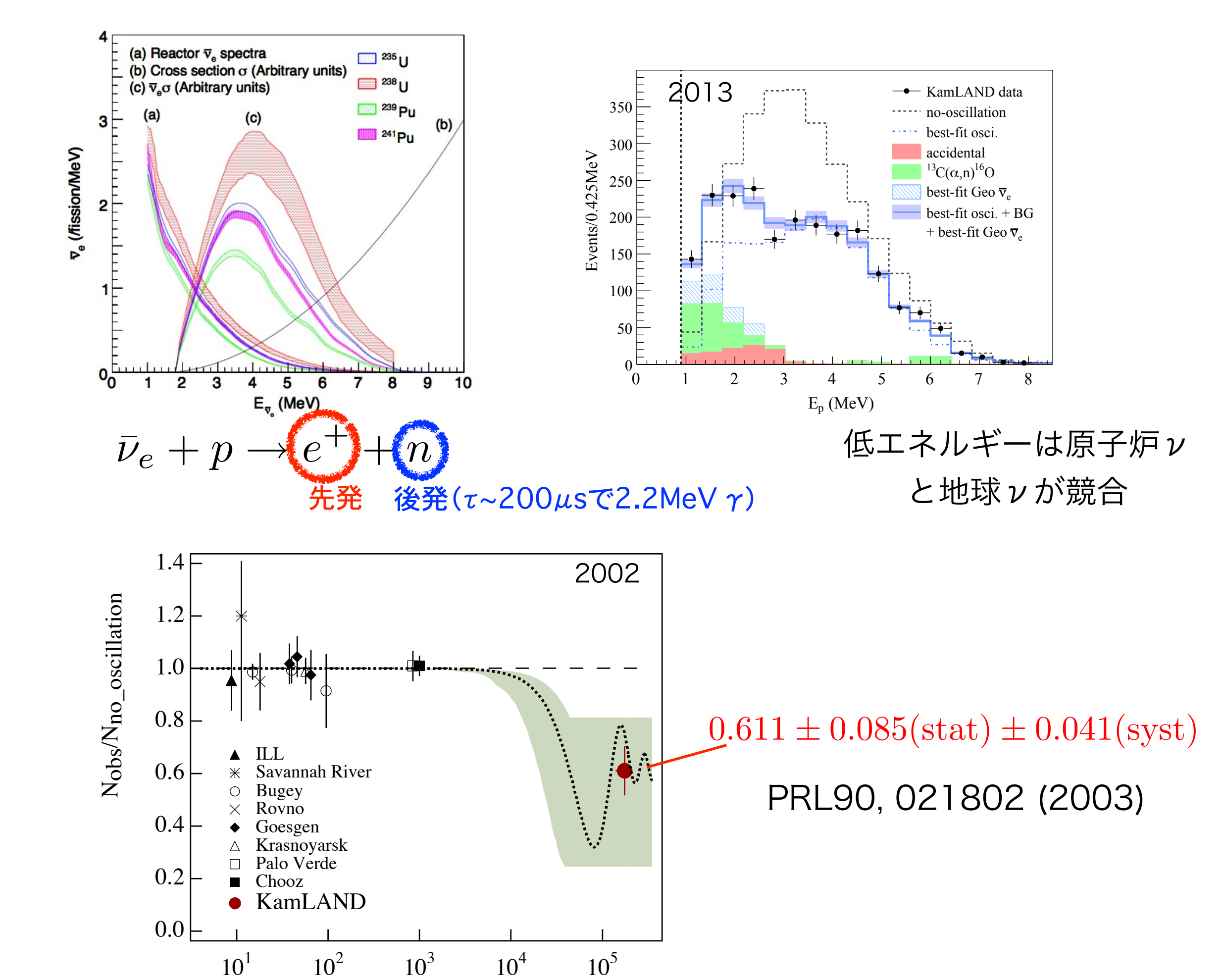
 $n \rightarrow p + e^- + \overline{\nu}_e$



カムランド

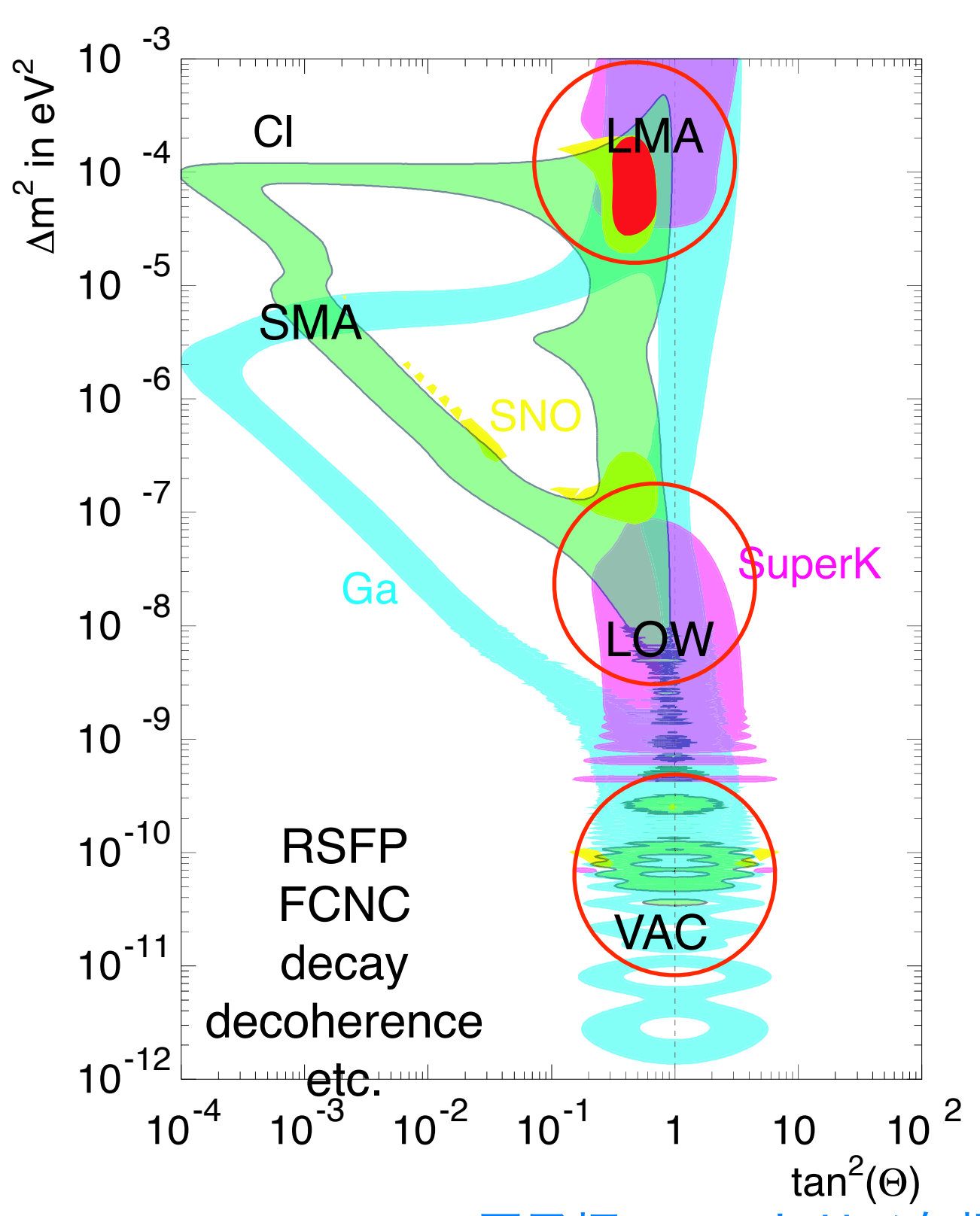
Kamioka Liquid-scintillator Anti-Neutrino Detector

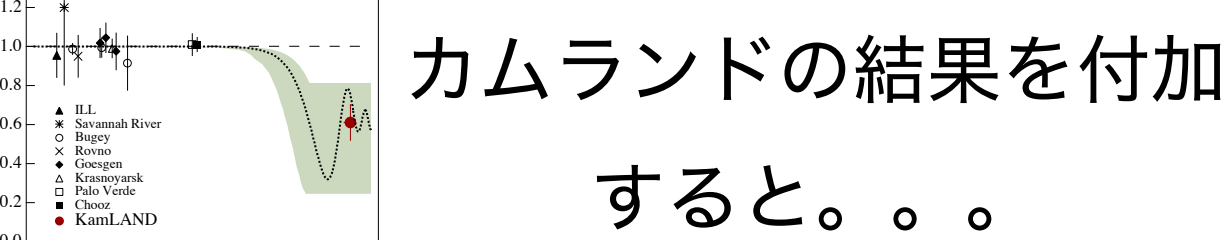


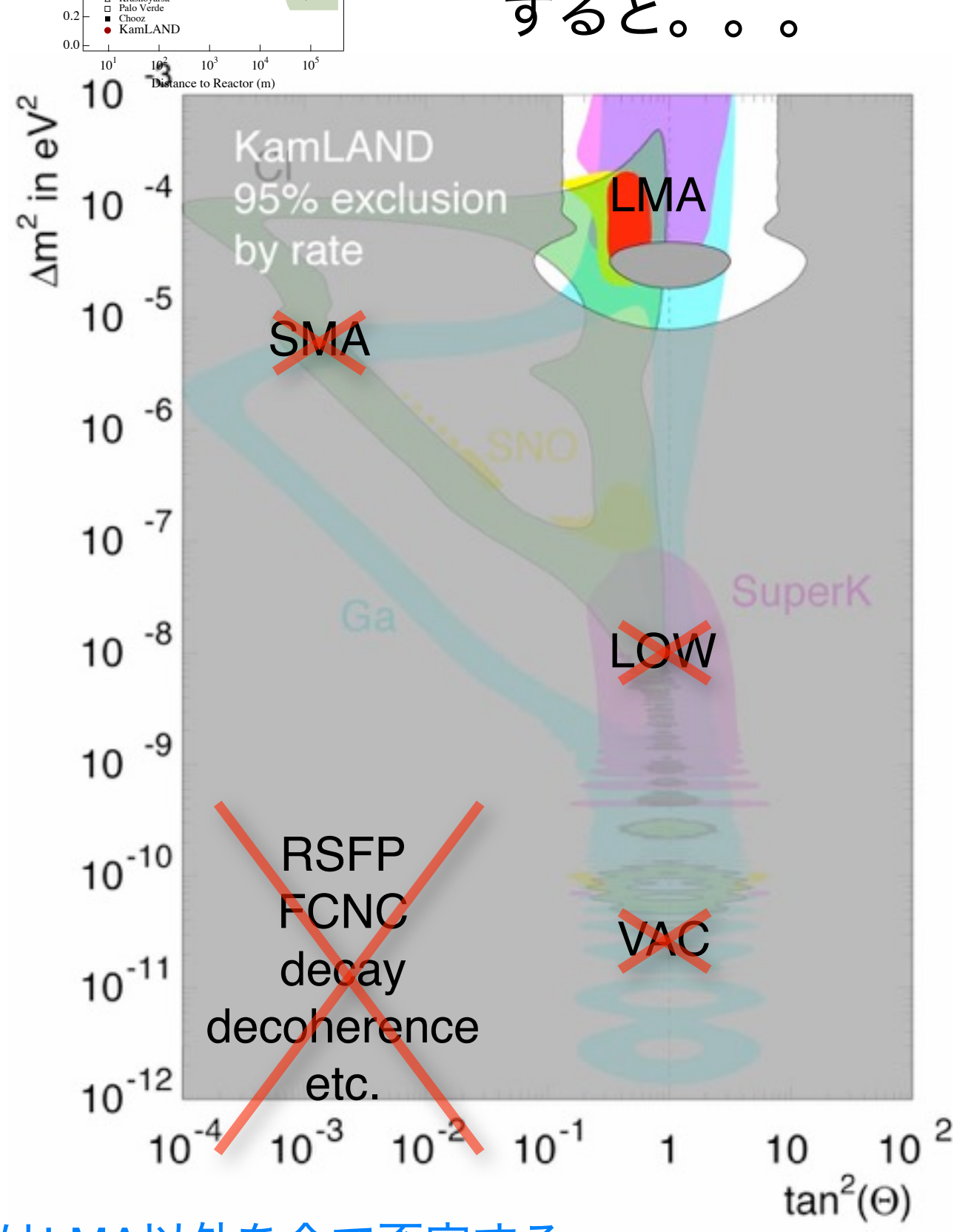


Distance to Reactor (m)

太陽ニュートリノ問題を説明できる ニュートリノ振動パラメータ







原子炉ニュートリノ欠損はLMA以外を全て否定する。

消去法で「太陽ニュートリノ問題の解を特定!」

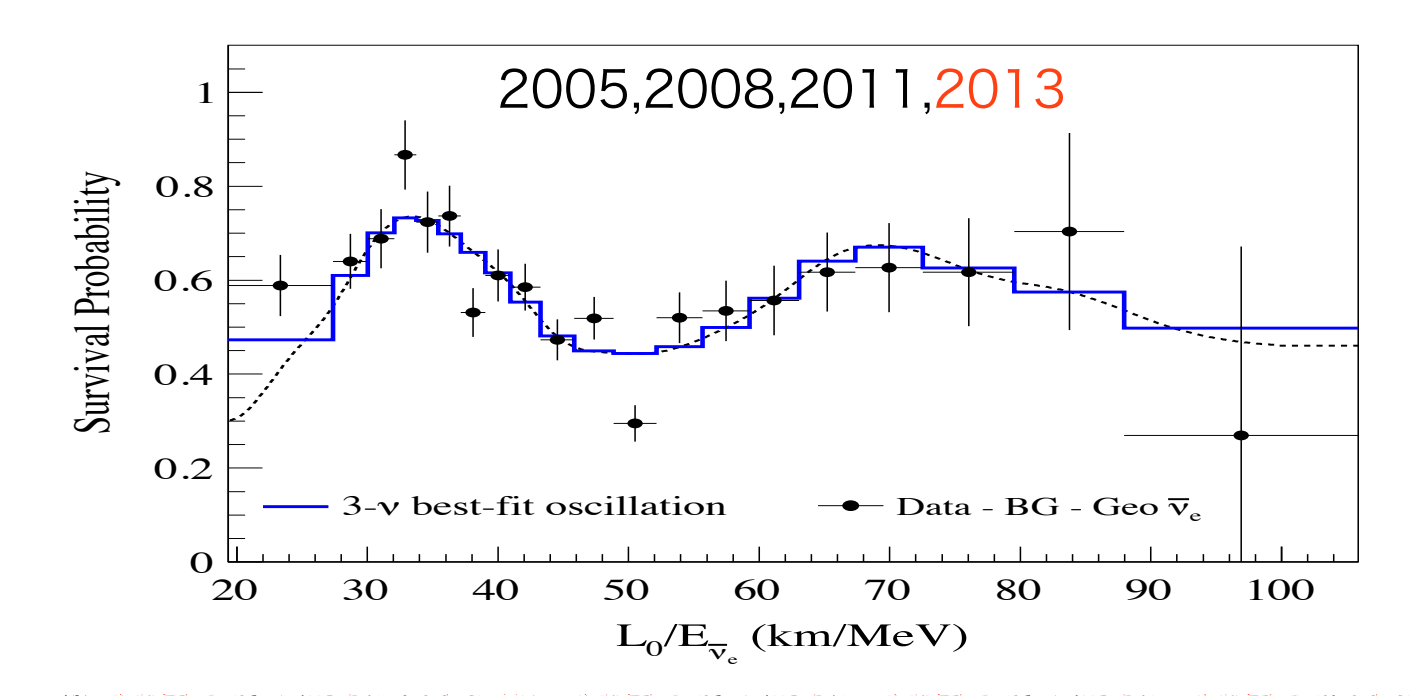
ニュートリノ振動の直接証拠

二世代で単純化したニュートリノ振動

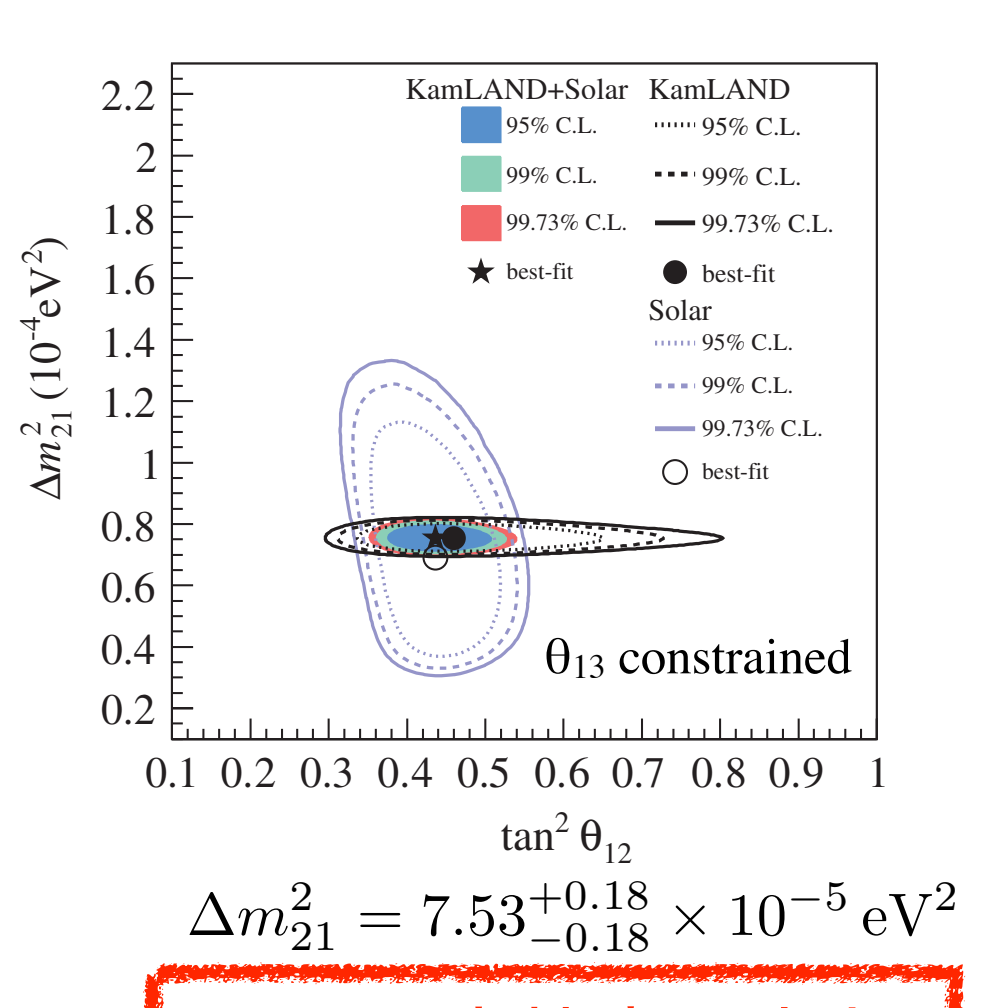
$$P(\bar{\nu}_e \to \bar{\nu}_e) \sim 1 - \sin^2(2\theta) \sin^2(\theta)$$

周期的な変化を捉えたい。

(有効距離180km ÷ エネルギー) の関数で 生存確率を測定

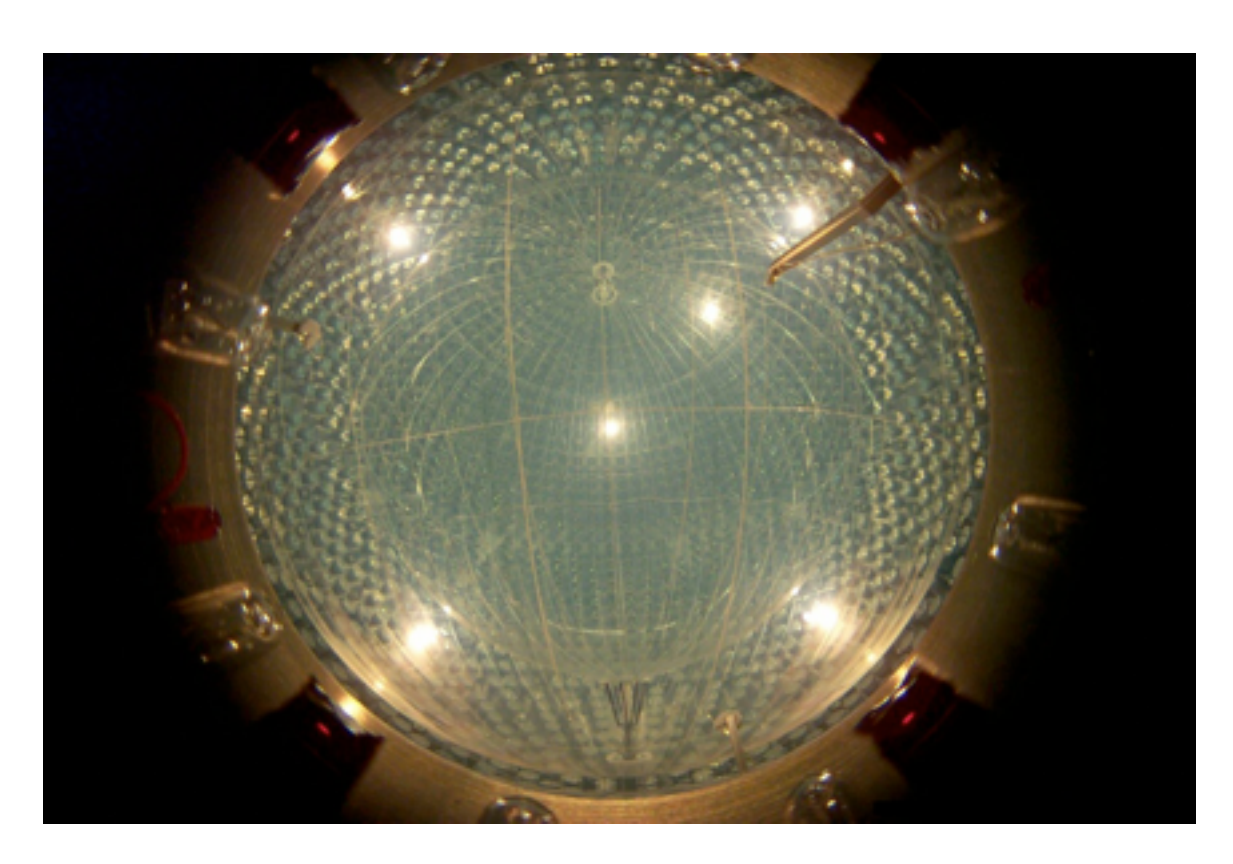


2周期にわたる明確なニュートリノ振動の測定

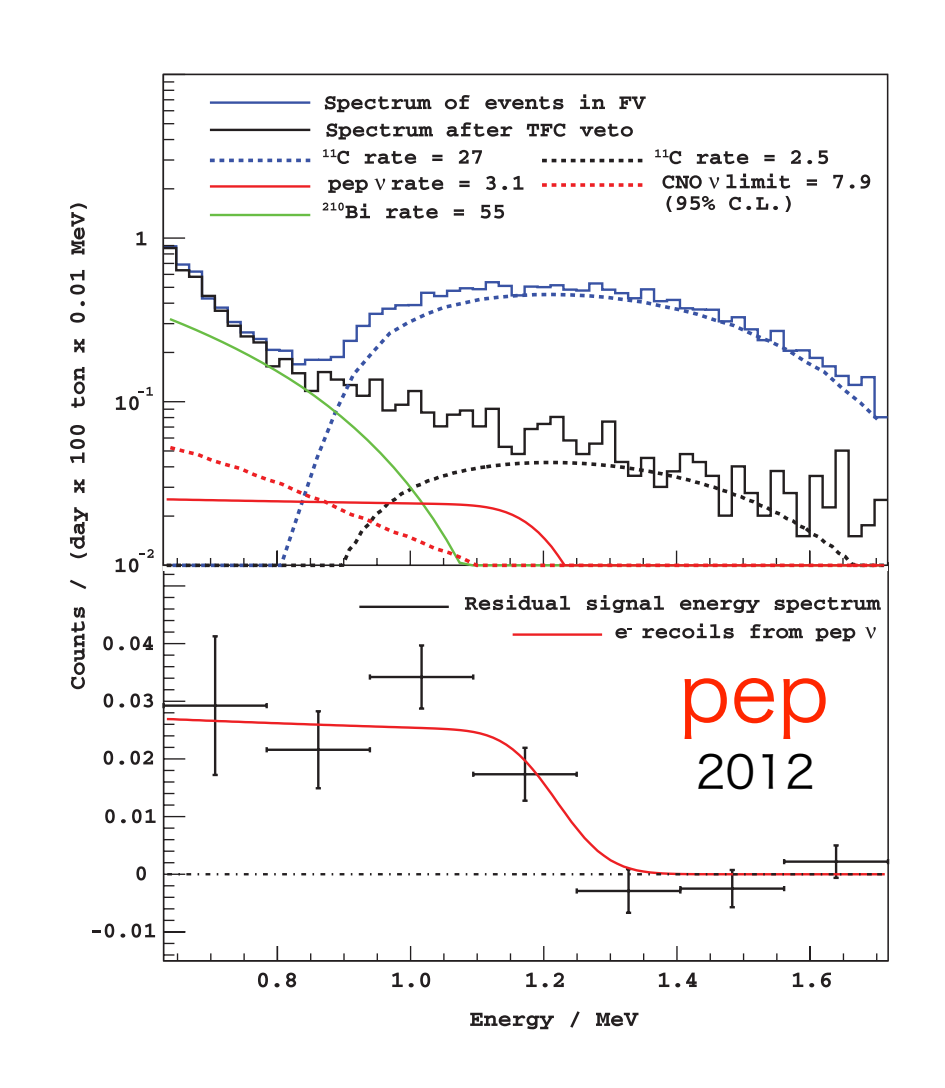


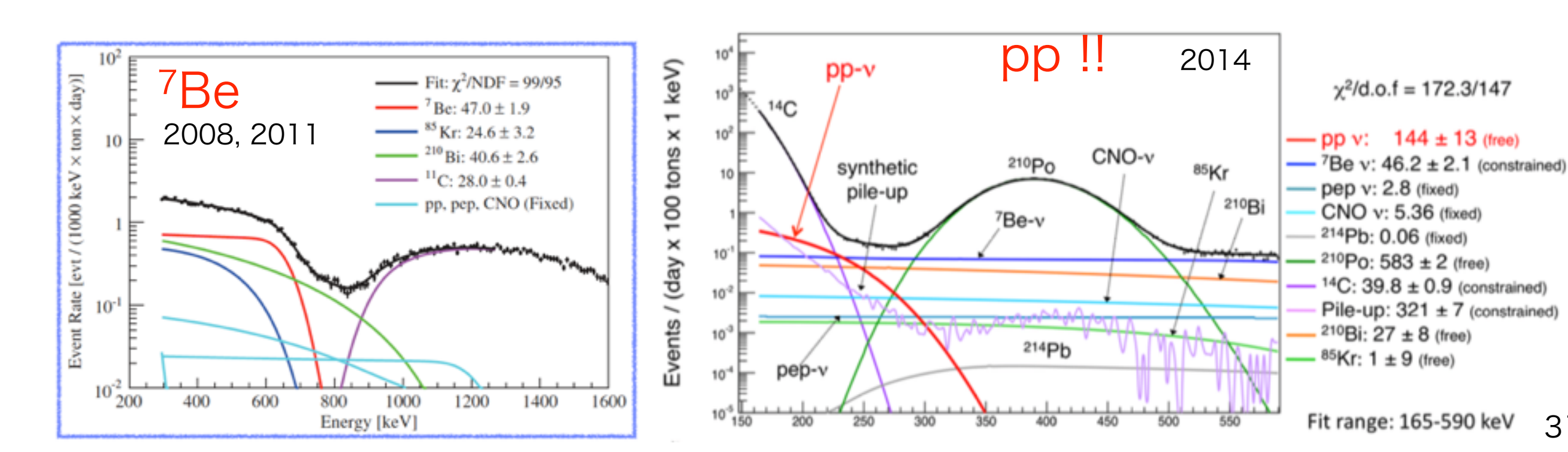
2.4% の高精度で決定

Borexino @Gran Sasso (3800mwe)



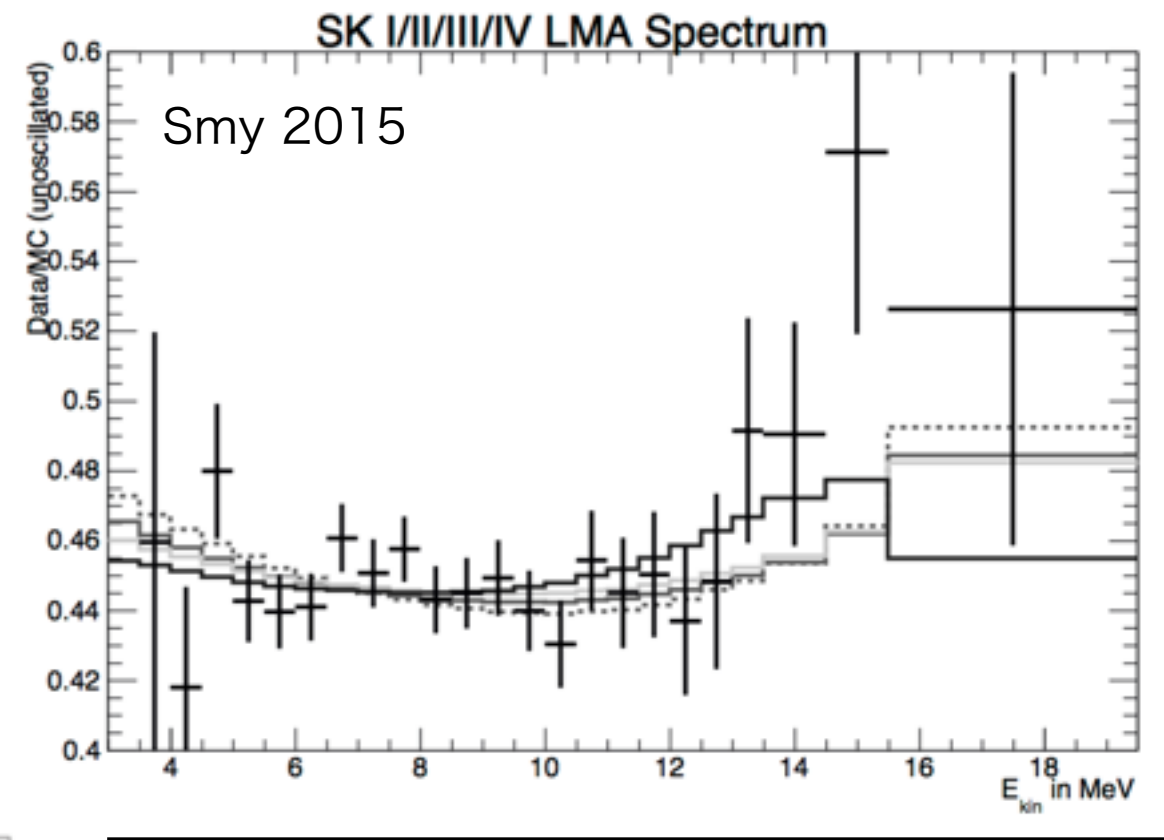
300 ton 液体シンチレータ 低エネルギーでの実時間測定が可能

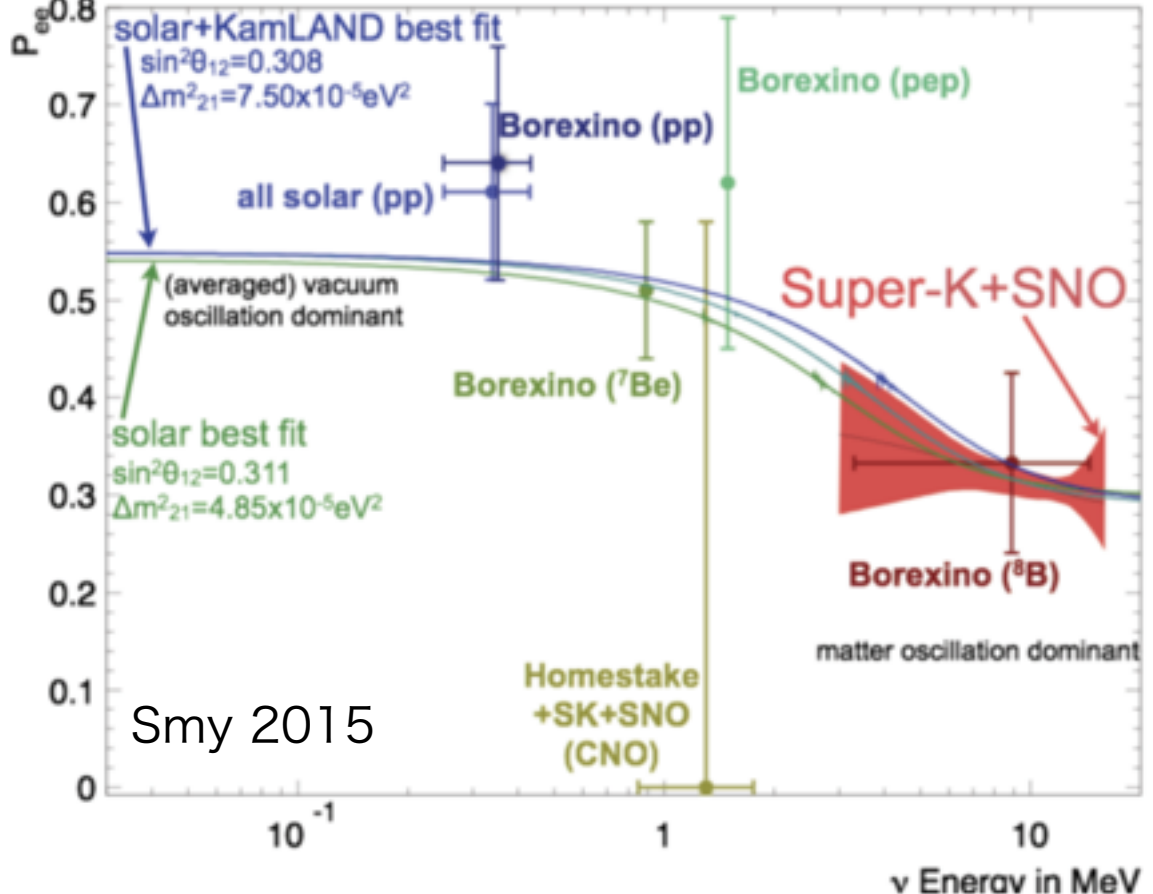




標準太陽模型太陽ニュートリノ実験+ルミノシティ制限

	SFII		
Flux	GS98	Solar	
pp	5.98 [0.6%]	6.05 [0.6%]	_
pep	1.44[1.1%]	1.46[1.2%]	
hep	8.04[3%]	18 [45%]	
$^7{ m Be}$	5.00[7%]	4.82[4.5%]	
$^8\mathrm{B}$	5.58[14%]	5.00 [3%]	
^{13}N	2.96[14%]	≤ 6.7	CNONMI+
^{15}O	2.23[15%]	≤ 3.2	CNO以外は
$^{17}\mathrm{F}$	5.52[19%]	≤ 59	実時間測定
-			された。
		_	実時間測定



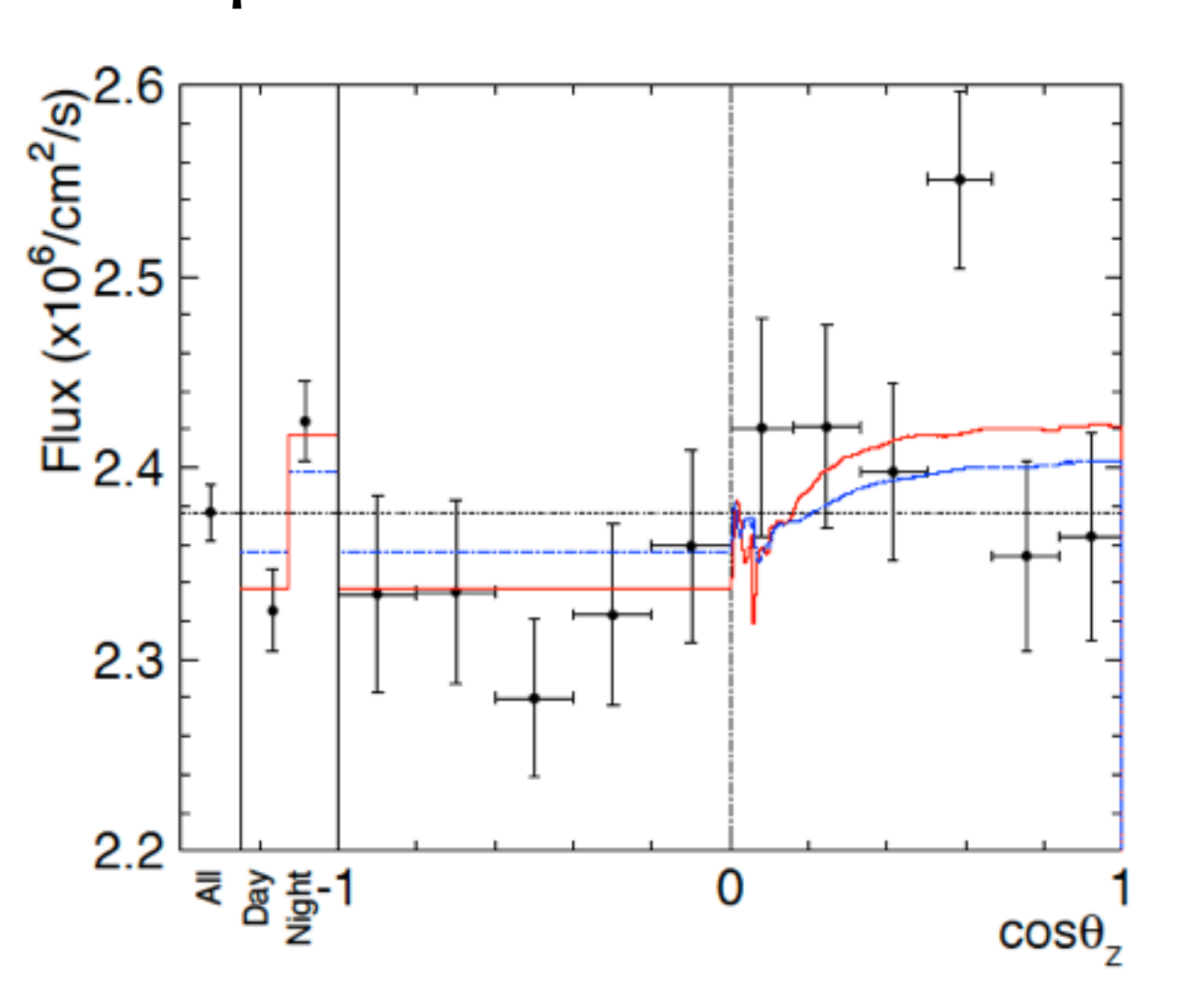


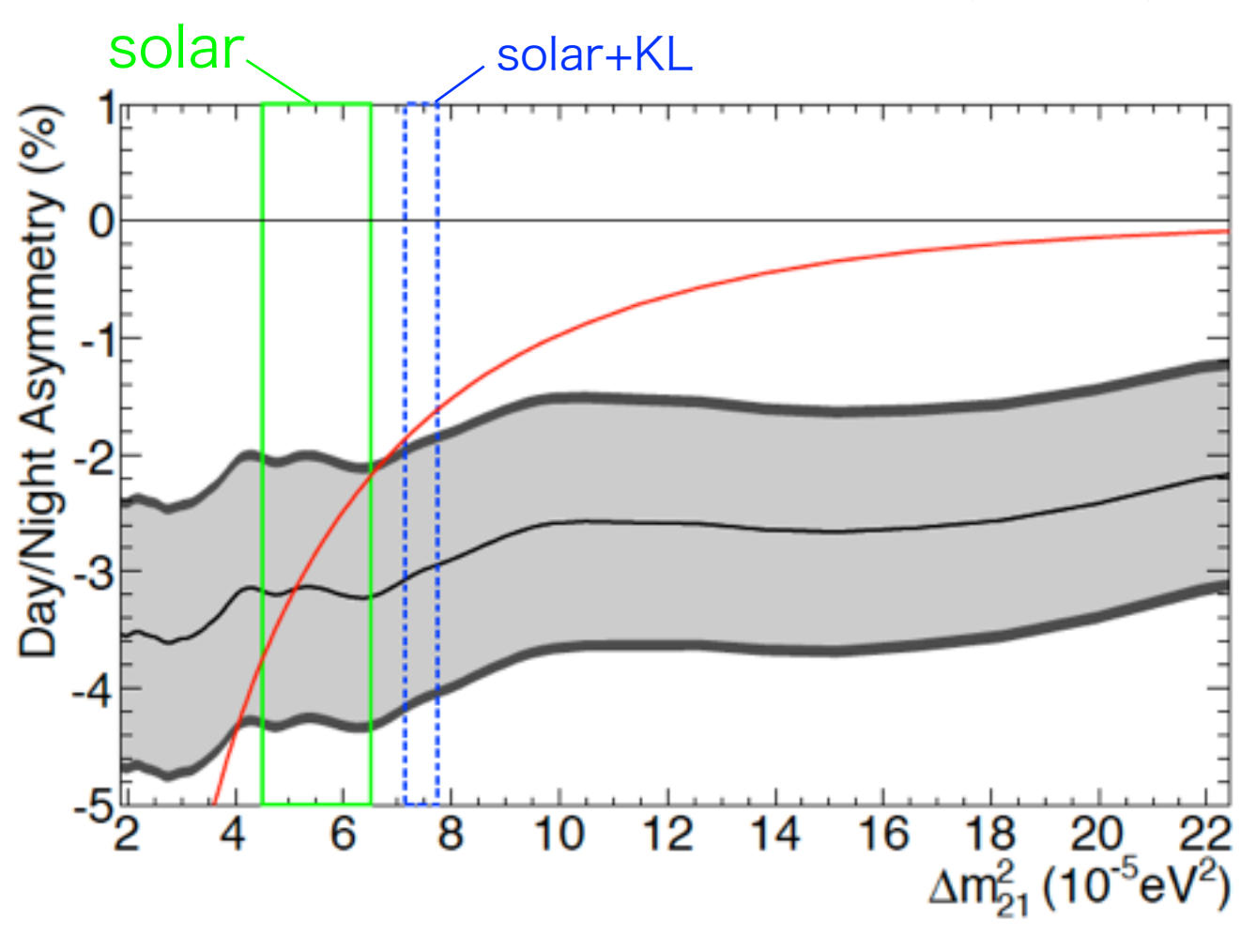
SKはスペクトルの低敷居値高精度測定

エネルギースペクトル ではまだ物質効果の検 証ができていない。

Super-Kamiokande 日夜変動

PRL112, 091805 (2014)

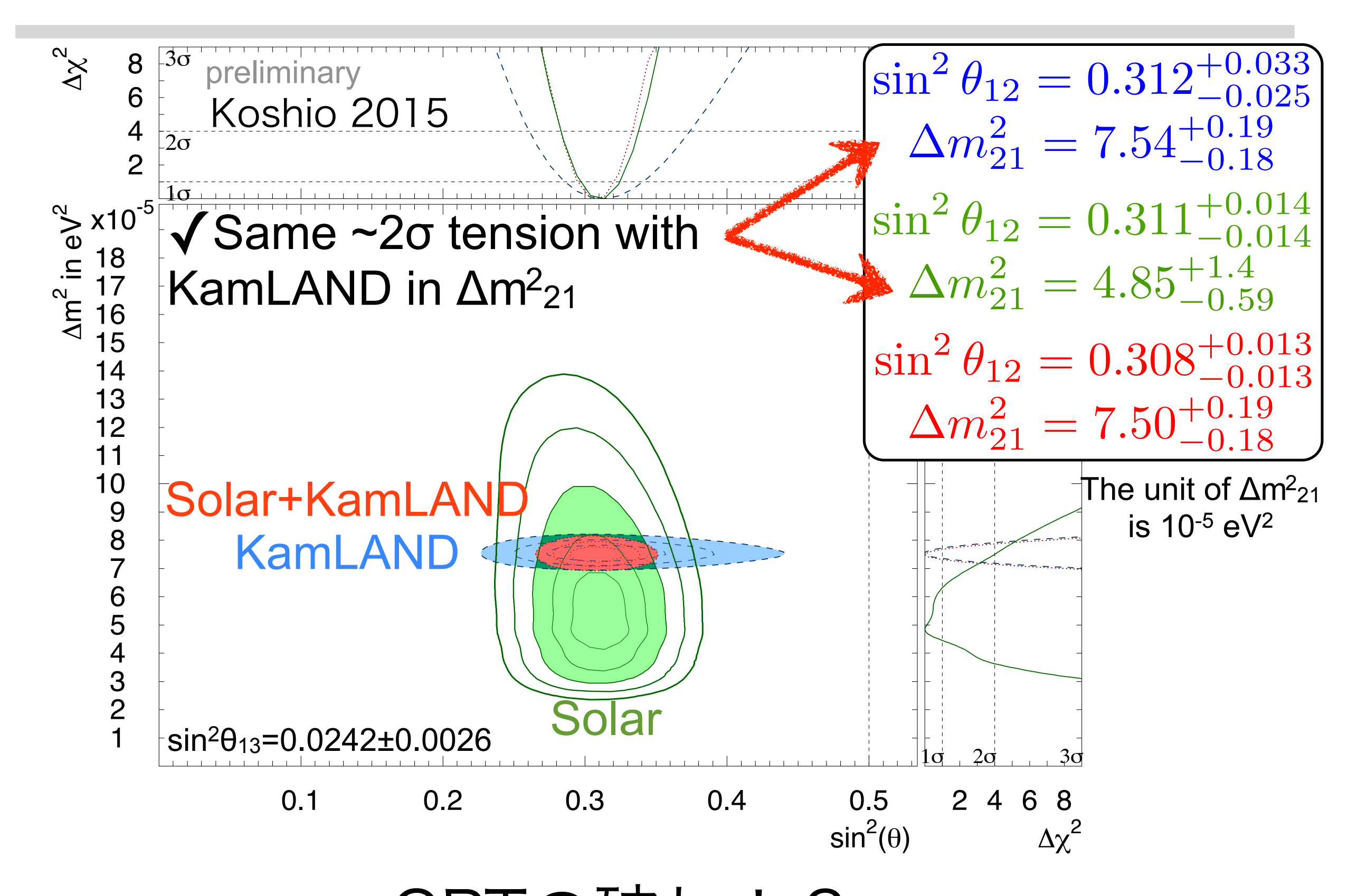




$$A_{\rm DN} = \frac{{\rm D} - {\rm N}}{({\rm D} + {\rm N})/2} = -3.2 \pm 1.1 ({\rm stat}) \pm 0.5 ({\rm syst})\%$$

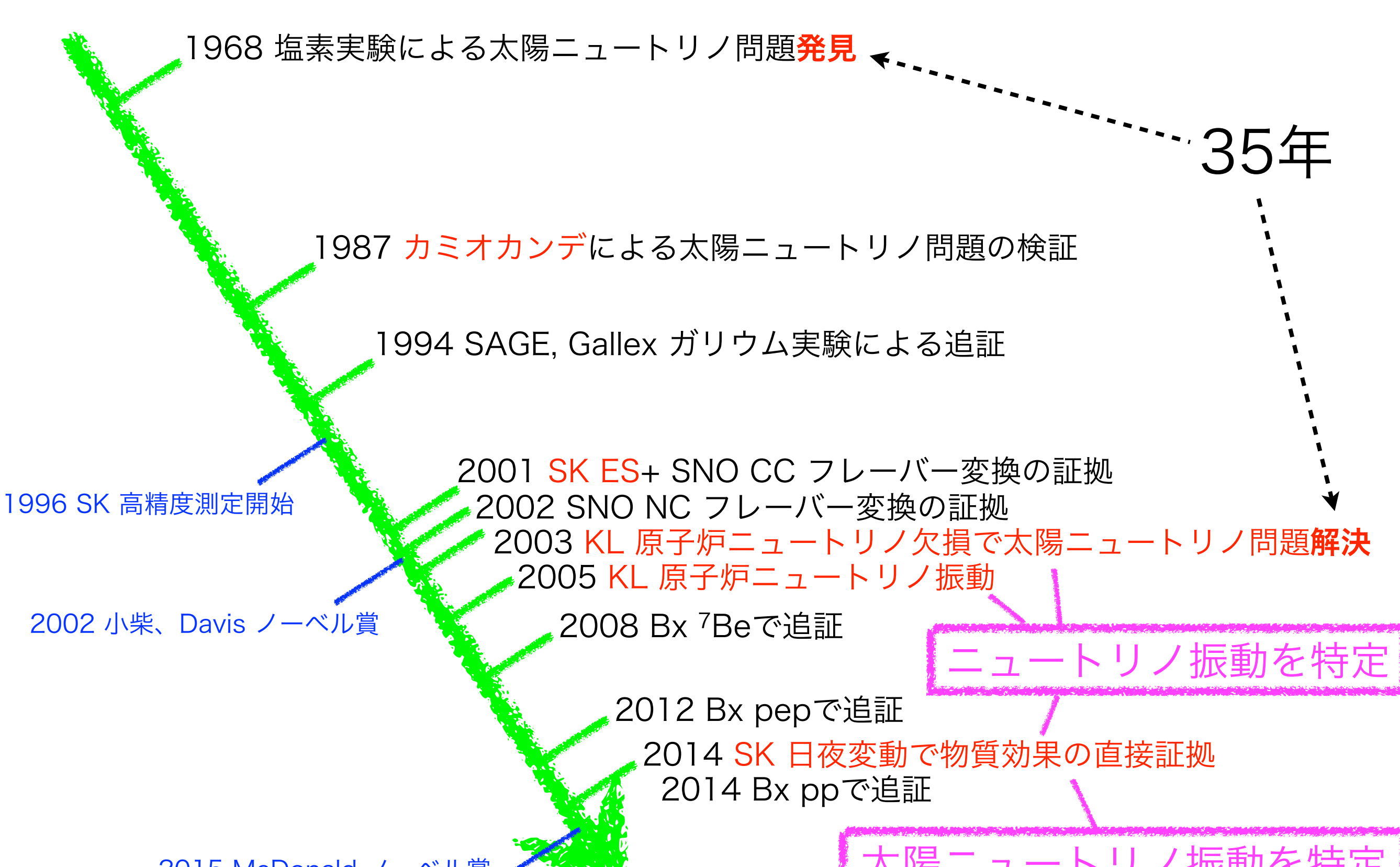
物質効果の直接証拠となる 日夜変動を2.8 σ で観測

Solar all



CPTの破れ!?

まとめ



2015 McDonald ノーベル賞

太陽ニュートリノ振動を特定